



**Comune  
di Gravina in Puglia**

**Regione Puglia**



**proponente:**

# AMBRA SOLARE 12 S.R.L.

Via Tevere 41, 00187 - Roma (RM) - P.IVA/C.F. 15946141007 - pec: ambrasolare12srl@legalmail.it



id:

**TAV\_B**

GRUPPO  
**Powertis**

DISCIPLINA:	<b>PD</b>	TIPOLOGIA:	<b>R</b>	FORMATO:	<b>A4-A3</b>	CODICE PRATICA:
FOGLIO:	<b>1 di 1</b>	SCALA:	-	Nome file:	<b>Relazione_Geologica_B</b>	

**titolo del progetto:**

**PROGETTO PER LA COSTRUZIONE  
E L'ESERCIZIO DI UN IMPIANTO AGRIFOTOVOLTAICO,  
DELLE OPERE CONNESSE E DELLE INFRASTRUTTURE INDISPENSABILI,  
DENOMINATO "PESCARELLA"**

**nome elaborato:**

**RELAZIONE GEOLOGICA**

**progettazione:**

dott. geol. Eugenio Martire

Rev:	Data Revisione	Descrizione	Redatto	Controllato	Approvato
00	15/11/2021	PRIMA EMISSIONE	New Dev.	PW	PW



**NEW DEVELOPMENTS S.r.l.**  
piazza Europa, 14 - 87100 Cosenza (CS)

## INDICE

---

PREMESSA.....	2
INQUADRAMENTO GEOGRAFICO .....	4
INQUADRAMENTO GEOLOGICO GENERALE .....	5
CARATTERISTICHE GEOLITOLOGICHE .....	7
CARATTERISTICHE GEOMORFOLOGICHE .....	9
CARATTERISTICHE IDROLOGICHE ED IDROGEOLOGICHE.....	10
INQUADRAMENTO P. A. I.....	13
MODELLO GEOLOGICO .....	14
CARATTERIZZAZIONE GEOTECNICA .....	17
SISMICITA' DELL'AREA .....	18
Normativa sismica.....	20
Scenari di pericolosità sismica locale ed effetti di sito.....	23
VERIFICA DI STABILITA' DEL PENDIO.....	27
POTENZIALE DI LIQUEFAZIONE .....	27
CONCLUSIONI .....	29

### ALLEGATI

- ✓ Stralcio cartografia del PAI - scala 1:10.000
- ✓ Relazione tecnica sulle indagini

### ELABORATI CARTOGRAFICI

---

- 1 - Carta Geologica - scala 1:10.000
- 2 - Sezioni Geologiche - scala 1:6.000
- 3 - Carta Geomorfologica - scala 1:10.000
- 4 - Carta Idrogeologica - scala 1:10.000
- 5 - Planimetria ubicazione indagini geologiche - scala 1:10.000

## **PREMESSA**

---

Su incarico della società New Developments s.r.l. con sede legale in Piazza Europa n° 14, Cosenza (CS) il sottoscritto geologo Eugenio Martire iscritto all'ordine dei Geologi della Calabria a partire dal Gennaio 2013 al n° 1129, ha effettuato uno studio GEOLOGICO-GEOMORFOLOGICO-GEOTECNICO-SISMICO DI BASE, al fine di definire le condizioni di un'area interessata dal **Progetto definitivo impianto fotovoltaico denominato "Pescarella"** nel territorio comunale di Gravina in Puglia (BA).

Le finalità che si vogliono raggiungere con il presente studio si esplicano nella definizione geologica/geomorfologica, geotecnica e sismica del sito esaminato. A tal fine è stato predisposto, nell'area in esame, un programma di studi di ampiezza commisurata al contesto delle opere previste in progetto, costituito da:

- esame della cartografia ufficiale, unitamente a ricerche bibliografiche atte al reperimento di notizie (storiche, morfologiche, tettoniche, sismiche, idrologiche, idrogeologiche, ecc.) e dati tecnici riguardanti l'area in oggetto;
- caratterizzazione geologica ed esame delle condizioni geomorfologiche con il rilievo diretto di superficie esteso anche alle aree limitrofe per acquisire i dati necessari alla valutazione delle caratteristiche morfologiche, idrologiche, climatiche ed ambientali più evidenti, relative al territorio in oggetto.

Il modello geologico rilevato, gli studi e le analisi effettuate hanno consentito di definire:

### *Il quadro geologico/geomorfologico:*

L'inquadramento geologico, con riferimento alla bibliografia geologica esistente, alla cartografia acquisita, alle indagini stratigrafiche consultate e a quelle svolte ex-novo per questo studio, consente di definire i caratteri litostratigrafici, l'origine e la natura dei litotipi, lo stato di alterazione e di aggregazione, i caratteri strutturali generali, la descrizione dei lineamenti geomorfologici della zona in generale e infine la descrizione delle forme naturali ed antropiche e degli elementi morfo-strutturali significativi ai fini geomorfologici e sismici.

### *Il quadro geotecnico:*

Il modello geologico/tecnico di riferimento ha altresì consentito di determinare gli spessori e le caratteristiche geotecniche dei terreni, di valutare l'effetto della presenza di falde idriche sotterranee che potrebbero influenzare la stabilità dell'area e dei futuri manufatti e infine di

valutare gli eventuali processi morfologici ed le azioni di dissesto potenziali o in atto nell'area in studio ed in quella circostante.

*Il quadro sismico di riferimento:*

La definizione del quadro sismico locale è connessa alla macrozonazione sismica dell'area attraverso l'individuazione della zona sismica del Comune in cui ricade l'intervento da realizzare, ai sensi dell'O.P.C.M. n° 3274 del 20/03/2003 e alla caratterizzazione della pericolosità sismica dell'area mediante l'individuazione del parametro  $a_g$  (accelerazione orizzontale massima del terreno) e dell'intensità macrosismica  $I_{max}$ .

Lo studio è stato condotto secondo i dettami delle seguenti normative tecniche:

- **D.M. 17/01/2018** "Norme Tecniche sulle Costruzioni";
- **D.M. 11/3/88** "Norme tecniche riguardanti le indagini sui terreni e sulle rocce, la stabilità dei pendii naturali e delle scarpate, i criteri generali e le prescrizioni per la progettazione, l'esecuzione ed il collaudo delle opere di sostegno delle terre e delle opere di fondazione";
- **D.P.R. 380/2001 parte II capo II** "Norme per la disciplina delle opere in conglomerato cementizio armato, normale e precompresso ed a struttura metallica";
- **D.P.R. 380/2001 parte II capo IV** "Provvedimenti per le costruzioni con particolari prescrizioni per le zone sismiche";
- **D.P.R. 5/10/2010, n. 207** "Regolamento di esecuzione ed attuazione del decreto legislativo 12 aprile 2006, n°163 recante "Codice dei contratti pubblici relativi a lavori, servizi e forniture in attuazione delle direttive 2004/17/CE e 2004/18/CE";
- **Piano Stralcio per la difesa dal rischio idrogeologico (PAI)** approvato con deliberazione n. 26 del 05/12/2001 dal Comitato Istituzionale dell'Autorità di Bacino della Basilicata e successive modificazioni dalla delibera n.20/2008;
- **O.P.C.M. n° 3274 del 20/03/2003** Primi elementi in materia di criteri generali per la classificazione sismica del territorio nazionale e di normative tecniche per le costruzioni in zona sismica;
- **Ordinanza PCM 3519 (28/04/2006)** "Criteri generali per l'individuazione delle zone sismiche e per la formazione e l'aggiornamento degli elenchi delle medesime zone" (G.U. n.108 del 11/05/2006).

Il risultato di tale studio, infine, è focalizzato alla definizione degli eventuali accorgimenti tecnici necessari al mantenimento di un equilibrio idrologico e morfologico accettabile, tali da migliorare o in ogni caso non aggravare, le condizioni di sicurezza del territorio e garantire per il progetto adeguati livelli di sicurezza.

Le aree occupate dall'impianto saranno dislocate all'interno delle particelle di terreno site in agro del territorio comunale di Gravina in Puglia (BA).

## INQUADRAMENTO GEOGRAFICO

---

Il sito oggetto di studio è ubicato all'interno del territorio Comunale di *Gravina in Puglia*, in Provincia di Bari (BA). La cittadina vanta una popolazione di circa 42.560 abitanti e sorge a 361 m s.l.m. su un banco calcareo della fossa bradanica, a sud-ovest confina con la Basilicata ed ha un'estensione territoriale di 384,74 km<sup>2</sup>.

Da un punto di vista cartografico, il territorio oggetto di studio è rappresentato nella cartografia della Regione Puglia, con Carta Tecnica Regionale negli elementi n° 453163 "MASSERIA INCHIANCATA" (area impianti) e n° 472014 "PEZZA DEI PANNI" (area sottostazione elettrica) in scala 1:5.000, e nella Carta geologica d'Italia nel foglio 188 denominato "GRAVINA IN PUGLIA". L'area impianti si articola a quote altimetriche che variano da 239 a 283 m s.l.m. che rappresentano, rispettivamente, i punti più a valle e a monte della recinzione dell'impianto; la sottostazione invece, è ubicata a quote altimetriche decisamente maggiori e comprese tra 450 e 457 m s.l.m.

Una più precisa individuazione dell'area d'intervento può essere desunta dal corpus cartografico allegato alla presente; tuttavia, in linea generale, il sito è individuabile alle seguenti coordinate geografiche (WGS84): Latitudine - N 40.812909° Longitudine - E 16.278135°



Fig. 1 - Ubicazione di Gravina in Puglia (BA) su scala nazionale

## INQUADRAMENTO GEOLOGICO GENERALE

L'area di studio ricade nel margine centro-occidentale del foglio 188 denominato Gravina in Puglia della Carta Geologica d'Italia (scala 1:100.000). Essa è collocata nell'Avanfossa Bradanica, un bacino di sedimentazione di età pliocenica e pleistocenica, compreso tra l'Appennino meridionale ad Ovest e l'Avampaese Apulo (Murge settentrionali) ad Est. E' parte dell'avanfossa appenninica post-messiniana migrata, con diverse fasi deformative, verso Est durante il Pliocene e parte del Pleistocene e con l'inarcamento (peripheral bulge) dell'avampaese apulo. Rappresenta la subduzione litosferica della piattaforma Apula o Adria.

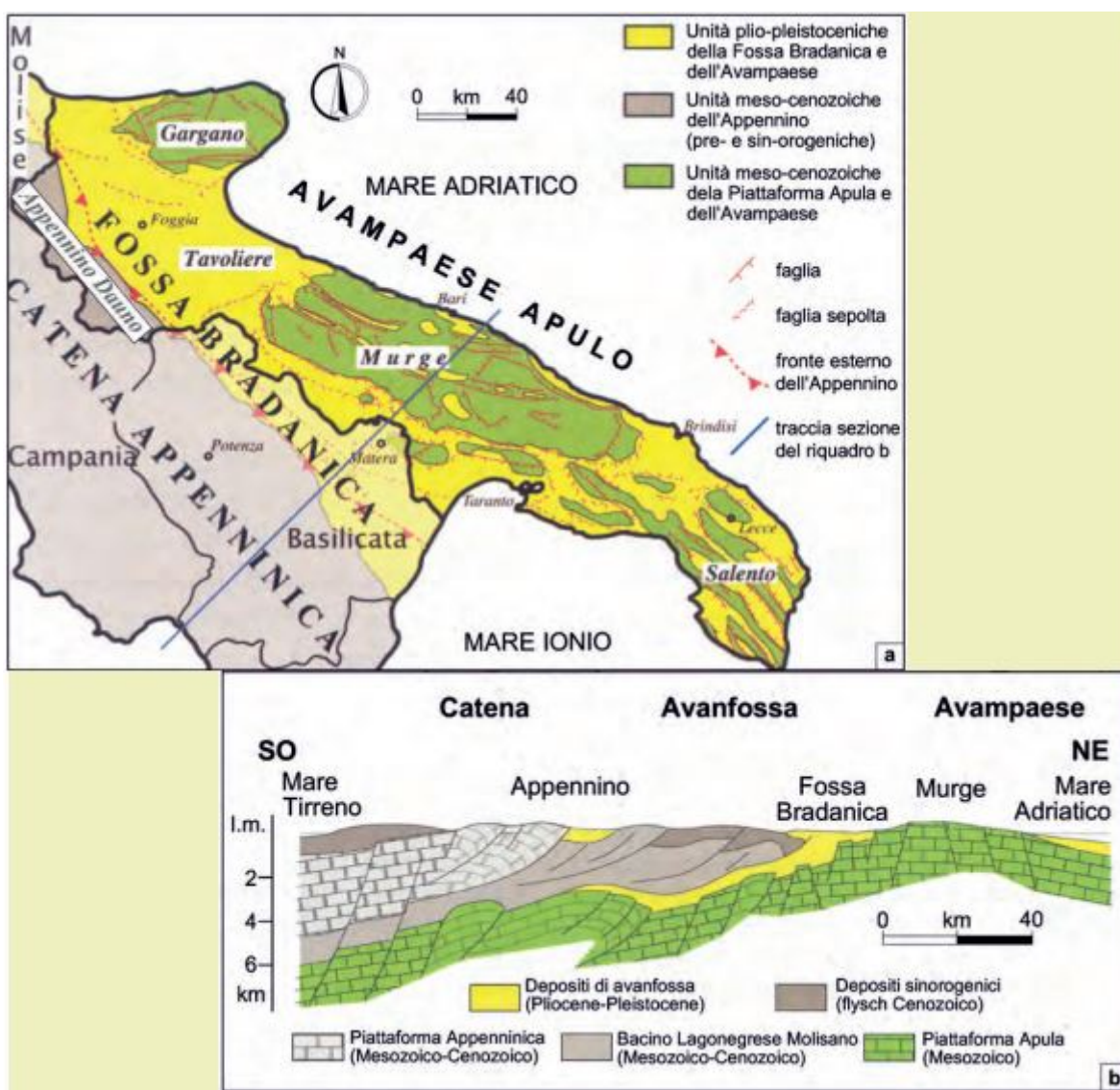


Fig. 2 – a) Carta geologica schematica (mod., da PIERI et alii, 1997); b) sezione geologica dell'Italia meridionale (mod., da SELLA et alii, 1988).

Dalle Murge in direzione della zona assiale della catena Appenninica sia le sezioni sismiche che i pozzi profondi mostrano una graduale immersione della piattaforma Apula e della sua copertura terrigena pliocenica al di sotto del fronte esterno dei thrusts alloctoni appenninici. In quest'area il bacino, caratterizzato da una successione di colmamento plio-pleistocenica spessa circa 2-3 km, mostra un'evidente restringimento con i due margini affioranti del bacino distanti poco più di 20 km. Il momento principale della storia evolutiva del bacino d'avanfossa bradanica è avvenuto tra la fine del Pliocene ed il Pleistocene inferiore, quando la propagazione verso est del fronte dei thrusts appenninici sepolto veniva impedita dalla rampa tettonica regionale della Piattaforma carbonatica apula, ribassata verso ovest a causa della subduzione litosferica (LAZZARI & PIERI, 2002).

I due domini tettonici, il fronte della catena appenninica e l'avampaese apulo, convergendo all'altezza dell'alto strutturale di Lavello-Banzi ("dorsale mesobradanica") impedirono la propagazione dei thrusts inducendo una drastica riduzione dei tassi di subsidenza del bacino d'avanfossa e l'inizio di una fase di superficializzazione del bacino.

Alla fine dell'Emiliano e all'inizio del Siciliano, il settore settentrionale del bacino d'avanfossa, caratterizzato da una marcata asimmetria trasversale ed assiale, è stato interessato da una sedimentazione di mare basso che, a causa degli abbondanti apporti sedimentari Appenninici inizia il colmamento del bacino con una successione regressiva continua. Nel Siciliano il settore settentrionale del bacino è ormai colmato ed è soggetto a eventi erosionali ed alluvionali. La sedimentazione marina avviene solo nei settori centromeridionali della Fossa Bradanica.

Nel Pliocene inferiore-medio quindi, inizia il riempimento del bacino su un'ampia area subsidente dell'Avampaese apulo. Lo spessore complessivo della successione bradanica supera i 2000 m. La porzione sepolta della successione (infrapliocenico-infrapleistocenica), è principalmente caratterizzata da un complesso torbiditico, mentre la parte affiorante quaternaria è costituita da argille siltose emipelagiche, al di sopra delle quali si ritrovano depositi grossolani di mare basso silicoclastici e più raramente carbonatici, relativi sia alle ultime fasi di riempimento dell'avanfossa sia al successivo sviluppo di depositi marini terrazzati. La parte più interna dell'intera successione di riempimento è caratterizzata dalla presenza del cosiddetto "alloctono", un complesso di terreni caotici di età prepliocenica che si interpone ai depositi di avanfossa sovrapponendosi a quelli torbiditici di età pliocenico-infrapleistocenica.

La porzione superiore affiorante della successione plioleistocenica, spessa circa 600 m, è costituita da depositi argillosi emipelagici passanti verso l'alto a una serie di depositi grossolani. Relativamente ai depositi affioranti, la storia evolutiva del bacino, è caratterizzata inizialmente da subsidenza parzialmente compensata da sedimentazione emipelagica. Dal Pleistocene inferiore (Emiliano), a cominciare dal settore centrale del bacino (area di Banzi e Genzano), si produce il colmamento a causa del sollevamento tettonico che interessa la regione. Sulle emipelagiti, rappresentate dalle Argille subappennine, si accumulano quindi depositi grossolani di mare basso e/o continentali, corrispondenti allo stadio regressivo della storia evolutiva del bacino. I depositi sabbioso-conglomeratici relativi alle fasi finali di riempimento della Fossa Bradanica si rinvencono in contatto sia transizionale che erosivo sulle Argille subappennine e che alcuni corpi conglomeratici sono intercalati alle successioni sabbiose con facies variabili da marino-transizionali a continentali.

## **CARATTERISTICHE GEOLITOLOGICHE**

---

In dettaglio, nel sito esaminato si rinvencono principalmente le seguenti 2 litologie:

### Area impianto

- **fl** – **ALLUVIONI TERRAZZATE**: Alluvioni di ambiente fluvio-lacustre, costituite da sedimenti siltosi, con lenti di sabbie e ciottoli

### Area sottostazione elettrica

- **qcg1** - **CONGLOMERATO DI ISERNIA**: Conglomerati alluvionali poligenici con evidente stratificazione incrociata e lenti sabbiose ocracee o rossastre.

Esterne all'area impianti e più precisamente in direzione est, si rinvencono le **ARGILLE DI GRAVINA (QaC)**: Argille più o meno siltose o sabbiose, grigio-azurre, talora con gesso e frustoli carboniosi, mentre in direzione ovest si incontrano depositi alluvionali recenti del Fiume Bradano (**a1**).

Dopo attento sopralluogo e dopo aver esaminato le risultanze delle prove eseguite in situ, si segnala la presenza in affioramento di depositi grossomodo omogenei a partire dal piano campagna fino a diversi metri di profondità e comunque fino alle profondità di interesse in relazione alle opere previste in progetto. Sia le prove DPM30 effettuate che le sismiche di tipo M.A.S.W. evidenziano un graduale miglioramento delle caratteristiche dei terreni a partire dal piano campagna.

Per meglio comprendere la potenza delle unità geologiche rinvenute sui diversi lotti di terreno esaminati, sono state prodotte n° 2 sezioni Geo-litologiche in scala 1:6.000 in cui si evidenziano gli spessori dei terreni affioranti. Per quanto concerne la caratterizzazione geologica locale per la progettazione delle opere, si può far riferimento a due unità geologiche di natura sedimentaria che interessano rispettivamente l'area impianti e l'area della sottostazione elettrica.

In generale, da un punto di vista geologico, sia l'area della perimetrazione dell'impianto che quella che ospita la sottostazione elettrica si presentano abbastanza omogenee (Fig. 3).



**Fig. 3. Il sito in esame (area impianto), dal punto di vista Geologico si presenta piuttosto omogeneo**

## CARATTERISTICHE GEOMORFOLOGICHE

---

Geomorfologicamente l'area che ospiterà gli impianti si presenta come un'area a dolci pendenze delimitata da piccole incisioni torrentizie. L'intera area si sviluppa da 283 m (punto più a monte) fino a 239 m di altitudine (punto più a valle). L'area che ospita la sottostazione elettrica, invece, è quasi pianeggiante e ubicata a una quota altimetrica compresa tra 557 e 551 m s.l.m. (Figura 4).



Fig. 4. La foto (google) illustra l'area che ospiterà la sottostazione elettrica

La sottostazione sorgerà in un contesto geomorfologico praticamente pianeggiante e in limitate circostanze sub-collinare in cui le uniche variazioni degne di nota sono rappresentate da alcune piccole incisioni (impluvi) che in alcuni casi bordano il sito di interesse. La pendenza media del versante in esame è inferiore ai 5° e colloca il sito nella categoria topografica T1.

L'area impianti è ubicata in corrispondenza del fondovalle del *Torrente Basantello*, in un contesto geomorfologico privo di qualsiasi elemento degno di note, per come meglio apprezzabile dall'elaborato: "Carta Geomorfologica" redatta in scala 1:10.000 e allegata alla presente relazione.

Dal sopralluogo effettuato e dalla consultazione delle carte tematiche del P.A.I. non si rileva la presenza di movimenti franosi; le uniche criticità sono ubicate a debita distanza sia dall'area impianti che dalla sottostazione elettrica.

Dalla consultazione del database del catalogo delle faglie capaci del sistema ITHACA, risulta evidente che l'area di studio è priva di qualsiasi lineazione tettonica classificata.

## CARATTERISTICHE IDROLOGICHE ED IDROGEOLOGICHE

Il locale sistema idrografico, costituito da piccoli canali e torrenti, presenta un andamento di tipo lineare di basso ordine gerarchico; Per quanto riguarda il sito dell'area impianti, si segnala la presenza di piccoli canali di scolo che si sviluppano in loco, oltre che la presenza del **Torrente Basentello** che scorre solo 700 m più a ovest e rappresenta il corso idrico principale.

L'area della sottostazione elettrica non è attraversata da alcun canale e non si segnala la presenza di corsi idrici rilevanti nelle immediate vicinanze.

Il **Torrente Basentello** è un corso idrico la cui sorgente si trova a 397 m slm a Piano di Palazzo presso Palazzo San Gervasio. Il fiume segna il confine tra la provincia di Potenza e la città metropolitana di Bari. Nel territorio di Gravina in Puglia il *Basentello* riceve da sinistra il torrente Roviniere. Il fiume prosegue per il Lago di Serra del Corvo e continua verso sud-est, presso il confine con la provincia di Matera, per poi confluire da sinistra nel fiume Bradano vicino al lago di San Giuliano



Fig. 5. La freccia rossa indica il Torrente Basentello, le frecce azzurre, invece, indicano piccoli canali di scolo che solcano il sito impianti (poligoni verdi).

L'incisione dei canali è poco marcata, non si segnalano, infatti, orli di scarpata particolarmente accentuati.

La portata del *Torrente Basentello* è notevolmente influenzata dagli eventi meteorici; durante i periodi estivi e in particolar modo quelli siccitosi, il torrente si presenta quasi totalmente asciutto; al contrario, durante il periodo invernale/primaverile e a seguito di eventi meteorici presenta portata maggiore e un discreto trasporto di materiale detritico.

I parametri che regolano e condizionano la circolazione delle acque nel sottosuolo sono sostanzialmente: la permeabilità, la porosità, il grado di fratturazione, le discontinuità strutturali e l'alterazione. Il parametro più rappresentativo è senza dubbio la permeabilità, cioè la capacità di un mezzo a lasciarsi attraversare dall'acqua. Le rocce permeabili si distinguono essenzialmente in due categorie: rocce permeabili per porosità (permeabilità primaria) e rocce permeabili per fessurazione (permeabilità secondaria). La permeabilità primaria è dovuta alla presenza di vuoti tra i clasti delle rocce sedimentarie ed è regolata da un processo che avviene durante la formazione delle rocce sedimentarie stesse; la porosità secondaria, invece, è dovuta alla fessurazione delle rocce ed è regolata da processi post-genetici delle rocce (sedimentarie e non..). In allegato al presente studio, è stata prodotta la **Carta Idrogeologica** in scala 1:10.000 in cui le varie unità litologiche presenti nell'area sono state classificate in base al loro gradiente di permeabilità. Generalmente si riscontrano due unità differenti:

#### LITOTIPI A PERMEABILITÀ MEDIO-ALTA

Questa classe è identificabile con le litologie **fl** (Alluvioni terrazzate fluvio-lacustri) caratterizzate principalmente da depositi siltitici con lenti sabbioso ciottolose e **qcg1** (Conglomerati Alluvionali), caratterizzate da conglomerati e sabbie con matrice generalmente sabbiosa ma a volte anche sabbiosa/argillosa.

Queste formazioni, essendo costituite da sedimenti principalmente grossolani, risultano caratterizzate da una permeabilità primaria per porosità ( $10^{-2} < K < 10^{-4}$  m/sec), con medio alte caratteristiche di trasmissività.

Nell'ambito di questi depositi si distinguono orizzonti molto permeabili, dati dai livelli di ghiaia e sabbia a granulometria grossolana.

L'idrologia si sviluppa attraverso una circolazione idrica per falde abbastanza estese e in profondità con deflusso preferenziale dell'acqua nei litotipi a più alta permeabilità.

#### LITOTIPI A PERMEABILITÀ BASSA

Questa classe non rappresenta le unità litologiche presenti nell'area in esame. Generalmente i litotipi a permeabilità bassa sono costituiti da depositi principalmente argillosi, con bassissime

caratteristiche di trasmissività. La caratteristica principale dell'argilla è che la dimensione dei suoi pori è talmente piccola da non consentire il passaggio dell'acqua che viene praticamente trattenuta per ritenzione; ne deriva una circolazione idrica nulla o comunque trascurabile che favorisce il ruscellamento superficiale.

Si precisa che l'unità litologica **fl**, costituita principalmente da depositi siltitici rappresenta una situazione "borderline" in quanto, la natura fine dei sedimenti potrebbe limitare il fenomeno di permeabilità dei depositi alluvionali appena descritti.

Dalle indagini effettuate non è stata rilevata la presenza della falda freatica e all'interno del sito, durante le operazioni di sopralluogo, non è stata rilevata la presenza di acque superficiali.

Si raccomanda comunque la realizzazione di cunette e canali di scolo per la regimazione delle acque superficiali che potrebbero scorrere in maniera disordinata a seguito di eventi meteorici intensi.

Tuttavia oltre alle varie considerazioni che si possono fare, è stato consultato il sito dell'ISPRA [http://sgi2.isprambiente.it/viewersgi2/?resource=wms%3Ahttp%3A//sgi2.isprambiente.it/arcgis/services/servizi/indagini464/MapServer/WMSserver%3Frequest%3DGetCapabilities%26service%3DWMS&title=ITA\\_Indagini\\_sottosuolo464#](http://sgi2.isprambiente.it/viewersgi2/?resource=wms%3Ahttp%3A//sgi2.isprambiente.it/arcgis/services/servizi/indagini464/MapServer/WMSserver%3Frequest%3DGetCapabilities%26service%3DWMS&title=ITA_Indagini_sottosuolo464#), in cui sono riportati i dati di vari pozzi eseguiti su territorio nazionale.

Dalla consultazione del portale, non si rileva la presenza di un pozzo nelle immediate vicinanze del sito; il pozzo più prossimo è spostato di qualche Km più a sud ma comunque attendibile per quanto riguarda le informazioni sul livello della falda freatica.

Le caratteristiche del pozzo sopramenzionato, consultabili al seguente link: ([http://sgi2.isprambiente.it/indagini/scheda\\_indagine.aspx?Codice=162385](http://sgi2.isprambiente.it/indagini/scheda_indagine.aspx?Codice=162385)) evidenziano la presenza di una falda freatica a partire da grandi profondità dal piano campagna.

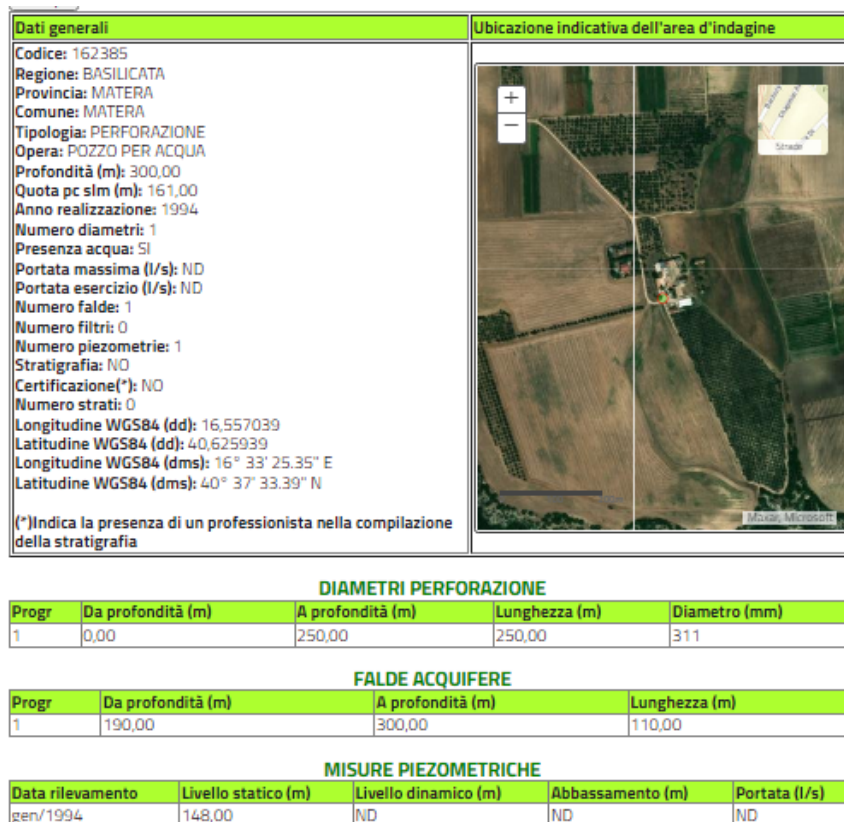


Fig. 6 - Lo schema in figura rappresenta le caratteristiche principali del pozzo in questione. La distanza tra sito e pozzo è di qualche Km con quote altimetriche simili.

Per quanto riguarda la piovosità, considerando l'ubicazione del sito (decisamente spostato verso l'entroterra rispetto al resto della provincia di Bari), possiamo prendere come riferimento la provincia di Potenza i cui dati sono consultabili diversi dati e in particolare, prendendo come riferimento quelli della vicina Stazione pluviometrica di **Irsina** (533 m s.l.m.) abbiamo nel periodo di riferimento 1921-2000 una piovosità media annua di 609,93 mm mentre nel periodo 1991-2000 di appena 504,30 mm, a dimostrazione che negli ultimi decenni si sono registrate precipitazioni mediamente inferiori alla media di lungo periodo assunta come valore atteso di riferimento nell'ipotesi di stazionarietà del fenomeno (Fonte [www.arpab.it](http://www.arpab.it)).

## **INQUADRAMENTO P.A.I.**

---

Il Piano Stralcio di Bacino per l'Assetto Idrogeologico P.A.I. redatto ai sensi dell'art. 17, comma 6 ter, della L. 183/89, dell'art. 1, comma 1, del D.L. 180/98, convertito con modificazioni dalla L. 267/98, e dell'art. 1 bis del D.L. 279/2000, convertito con modificazioni dalla L. 365/2000, ha valore di Piano Territoriale di Settore ed è lo strumento conoscitivo, normativo e tecnico-operativo mediante il quale sono pianificate e programmate le azioni, gli interventi e le norme d'uso riguardanti la difesa dal rischio idrogeologico del territorio siciliano.

Il P.A.I. ha sostanzialmente tre funzioni:

- La funzione conoscitiva, che comprende lo studio dell'ambiente fisico e del sistema antropico, nonché della ricognizione delle previsioni degli strumenti urbanistici e dei vincoli idrogeologici e paesaggistici;
- La funzione normativa e prescrittiva, destinata alle attività connesse alla tutela del territorio e delle acque fino alla valutazione della pericolosità e del rischio idrogeologico e alla conseguente attività di vincolo in regime sia straordinario che ordinario;
- La funzione programmatica, che fornisce le possibili metodologie d'intervento finalizzate alla mitigazione del rischio, determina l'impegno finanziario occorrente e la distribuzione temporale degli interventi.

Dal sopralluogo effettuato e dalla consultazione delle carte tematiche del P.A.I. non si rileva la presenza di movimenti franosi per quanto concerne sia l'area impianto che la sottostazione elettrica.

A tal riguardo, è stato prodotto uno stralcio della cartografia P.A.I. dell'area oggetto di studio, in scala 1:10.000 e allegato alla presente relazione.

## MODELLO GEOLOGICO

Per la definizione del *modello geologico* dell'area, sono state eseguite n° 2 prove sismiche di tipo MASW e n° 3 prove penetrometriche DPM30 all'interno del sito in esame. Le figure seguenti indicano l'ubicazione delle prove effettuate.

Le indagini sono state ubicate all'interno del perimetro dell'area impianto in cui verranno installati i pannelli fotovoltaici. Le aree esterne all'area impianti saranno caratterizzate dal solo passaggio del cavidotto fino alla sottostazione elettrica e di conseguenza escluse dall'indagine geognostica.

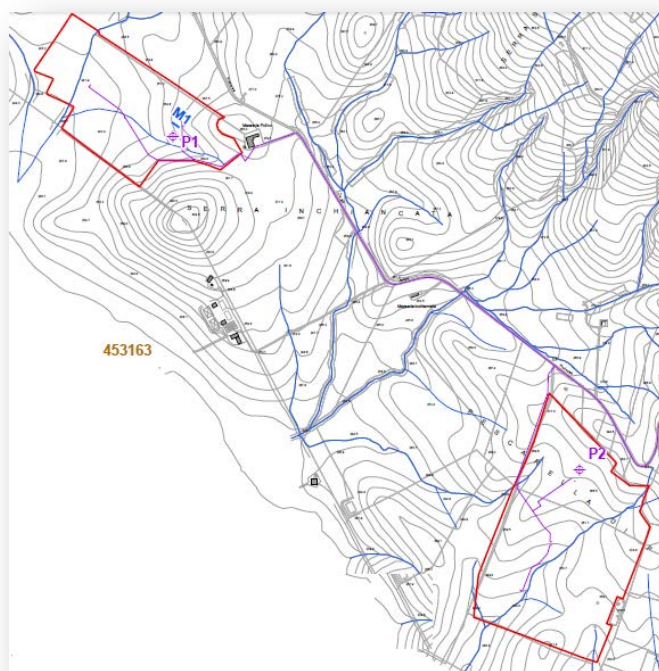


Fig. 7 – Ubicazione prove area impianti, su base C.T.R.

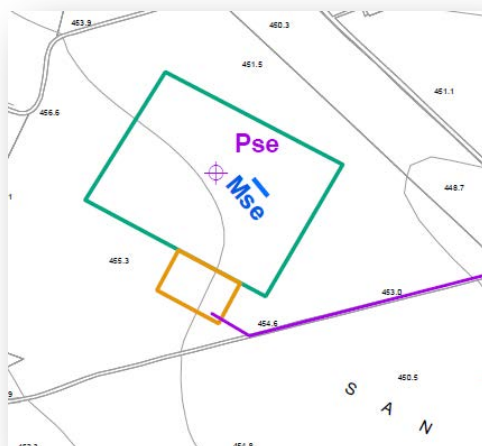


Fig. 8 – Ubicazione prove sottostazione, su base C.T.R.

In generale, l'intero sito dell'area impianto, è caratterizzato da depositi alluvionali terrazzati di natura siltosa/sabbiosa. Le prove penetrometriche **P\_1**, e **P\_2** svolte nell'area impianti, si sono spinte fino a 5 m di profondità indicando anche un graduale miglioramento delle caratteristiche geotecniche con l'aumentare della profondità dal piano campagna. Dall'esame dell'andamento dei colpi della DPM non si segnalano variazioni di litologia (anche se per assolarlo con certezza assoluta sarebbe opportuno effettuare un carotaggio).

Le prove **P\_1** e **P\_2** hanno dato risultati simili con un miglioramento delle caratteristiche geotecniche intorno ai 2,5 / 3 m di profondità dal P.C.

Una terza prova penetrometrica (**Pse**) è stata effettuata in corrispondenza della sottostazione elettrica e le risultanze sono in linea con le prove dell'impianto.

Le prove **MASW M1 e Mse** sono state eseguite rispettivamente nell'area impianti e in corrispondenza della sottostazione elettrica. In entrambe le prove, le onde Vs aumentano di velocità man mano che si scende in profondità, ma senza toccare mai gli 800 m/s a testimonianza che il substrato geologico non è mai prossimo al piano campagna.

Dalle risultanze delle prove sismiche si evince che sia per l'area impianti che per la sottostazione elettrica ci si trova in corrispondenza di un suolo di categoria C.

Per maggiori informazioni sulle risultanze delle prove penetrometriche e sismiche di tipo M.a.s.w. effettuate in sito, è consultabile il **Report sulle indagini** allegato alla presente relazione. Sulla base delle indagini effettuate, dalle consultazioni di carte tematiche e di referti bibliografici sui litotipi affioranti, è stato possibile produrre il seguente **Modello Geologico** del sito in esame:

### **Area impianto**

- **fl** – depositi alluvionali terrazzati (poco consistenti): a partire dal piano campagna fino a circa 2,5 m di profondità;
- **fl** – depositi alluvionali terrazzati (mediamente consistenti): a partire da circa 2,5 m fino a 8 m di profondità dal piano campagna;
- **fl** – depositi alluvionali terrazzati (consistenti): a partire da circa 8 m di profondità dal piano campagna;

## Area sottostazione elettrica

- **qcg\_1** – Conglomerati (poco consistenti): a partire dal piano campagna fino a circa 2 m di profondità;
- depositi sedimentari **qgc\_1** (mediamente consistenti): a partire da circa 2 m fino a 14 m di profondità dal piano campagna;
- depositi sedimentari **qgc\_1** o **qs\_1** (da mediamente consistenti a consistenti): a partire da circa 14 m di profondità dal piano campagna;

## CARATTERIZZAZIONE GEOTECNICA

Il modello geotecnico che qui si propone è un compendio di tutte le prove e le indagini storiche esaminate oltre che delle risultanze di quelle eseguite ex novo in situ. Nella tabella sono riportati i parametri geotecnici che meglio caratterizzano i terreni in loco.

Area impianto

Strato	$\phi$ (°)	Cu (Kg/cm <sup>2</sup> )	$\gamma$
	Picco	Picco	(t/m <sup>3</sup> )
fl – depositi alluvionali siltoso/sabbiosi (poco consistenti)	24 - 26	0,05 – 0,15	1,80 - 1,90
fl – depositi alluvionali siltoso/sabbiosi (mediamente consistenti)	26 - 27	0,15 – 0,25	1,90 - 2,00
fl – depositi alluvionali siltoso/sabbiosi (consistenti)	27 - 29	0,25 – 0,35	2,00 - 2,05

Area sottostazione elettrica

Strato	$\phi$ (°)	Cu (Kg/cm <sup>2</sup> )	$\gamma$
	Picco	Picco	(t/m <sup>3</sup> )
qgc_1 depositi conglomeratici e sabbiosi (poco consistenti)	24 - 26	0,05 – 0,1	1,80 - 1,90
qgc_1 depositi conglomeratici e sabbiosi (mediamente consistenti)	26 - 28	0,1 – 0,2	2,00 - 2,10
qgc_1 depositi conglomeratici e sabbiosi (consistenti)	28 - 30	0,15 – 0,3	2,10 - 2,15

Altri parametri geotecnici sono consultabili all'interno dell'allegato: "Relazione tecnica sulle indagini" presente alla fine della presente relazione.

## SISMICITA' DELL'AREA

La caratterizzazione sismica del sito è un elemento necessario ai fini della modellazione geologica e della progettazione geotecnica degli interventi.

L'Istituto Nazionale di Geofisica e Vulcanologia (INGV), ha dato conto dei principali terremoti registrati dalle diverse fonti di carattere storiografico, letterario e naturalistico nella pubblicazione del **DBMI15** - Database Macrosismico Italiano 2015, di cui a seguire si riporta, un estratto degli eventi sismici più significativi per l'area, negli ultimi anni.

### Gravina in Puglia

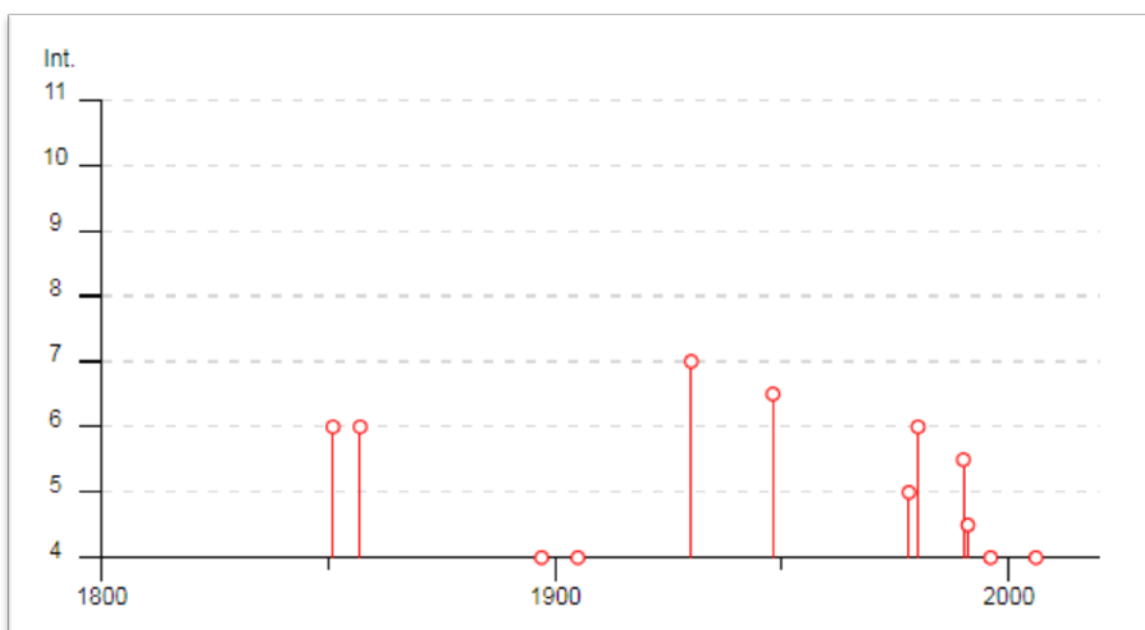
PlaceID	IT_62340
Coordinate (lat, lon)	40.819, 16.420
Comune (ISTAT 2015)	Gravina in Puglia
Provincia	Bari
Regione	Puglia
Numero di eventi riportati	16



Effetti	In occasione del terremoto del									
Int.	Anno	Me	Gi	Ho	Mi	Se	Area epicentrale	NMDP	Io	Mw
F	1845	08	10				Materano	6	5	4.51
6	1851	08	14	13	20		Vulture	103	10	6.52
6	1857	12	16	21	15		Basilicata	340	11	7.12
4	1897	05	28	22	40	0	Ionio	132	6	5.46
4	1905	09	08	01	43		Calabria centrale	895	10-11	6.95
7	1930	07	23	00	08		Irpinia	547	10	6.67
6-7	1948	08	18	21	12	2	Gargano	58	7-8	5.55
NC	1962	08	21	18	19		Irpinia	562	9	6.15
5	1978	09	24	08	07	4	Materano	121	6	4.75
6	1980	11	23	18	34	5	Irpinia-Basilicata	1394	10	6.81
5-6	1990	05	05	07	21	2	Potentino	1375		5.77
4-5	1991	05	26	12	25	5	Potentino	597	7	5.08
NF	1994	01	05	13	24	1	Tirreno meridionale	148		5.82
4	1996	04	03	13	04	3	Irpinia	557	6	4.90
NF	2004	09	03	00	04	1	Potentino	156	5	4.41
4	2006	05	29	02	20	0	Gargano	384		4.64

**Legenda**

- Int.** Intensità macrosismica, espressa in scala MCS, Mercalli-Cancani-Sieberg
- NMDP** Numero di punti, numero di osservazioni macrosismiche disponibili per il terremoto
- Io** Intensità macrosismica epicentrale, espressa in scala MCS, Mercalli-Cancani-Sieberg
- Mw** Magnitudo momento



**Fig. 9 - Rappresentazione grafica della storia sismica del Comune di Gravina in Puglia - BA**

## **NORMATIVA SISMICA**

Per quanto attiene alla caratterizzazione sismica dell'area oggetto d'intervento, si fa riferimento al DM 17/01/2018, che riprende l'O.P.C.M. 3274/2003, che prevede la definizione di una pericolosità sismica di base, espressa in termini di accelerazione massima prevista su substrato di riferimento, su cui è stata creata una mappa di pericolosità sismica di riferimento per l'individuazione delle zone sismiche. L'Istituto Nazionale di Geofisica e Vulcanologia, ha promosso nel luglio del 2003 la redazione della mappa; in particolare è stata elaborata una nuova zonazione sismogenetica, denominata ZS9 (Meletti et al., 2008), a partire da un sostanziale ripensamento della precedente zonazione ZS4 (Meletti et al., 2000) alla luce delle evidenze di tettonica attiva e delle valutazioni sul potenziale sismogenetico acquisite negli ultimi anni. La ZS9 è corredata, per ogni Zona Sismogenetica, da un meccanismo focale prevalente e da un valore di profondità media dei terremoti, determinati nella prospettiva di un loro utilizzo con le relazioni di attenuazione.

La zonazione sismogenetica ZS9 è il risultato di modifiche, accorpamenti ed elisioni delle numerose zone sismogenetiche della ZS4 e dell'introduzione di nuove zone.

Riassumendo, nella ZS9 le informazioni sulle sorgenti sismogenetiche s'innestano sul quadro di evoluzione cinematica plio–quaternaria su cui si basava la ZS4. Tuttavia, l'elaborazione della ZS9 si fonda su una base informativa decisamente più ricca e affidabile di quella disponibile all'epoca della prima realizzazione della ZS4.

La zonazione è costituita da 36 zone–sorgente, cui vanno aggiunte 6 zone–sorgente per le quali non è valutata però la pericolosità sismica.

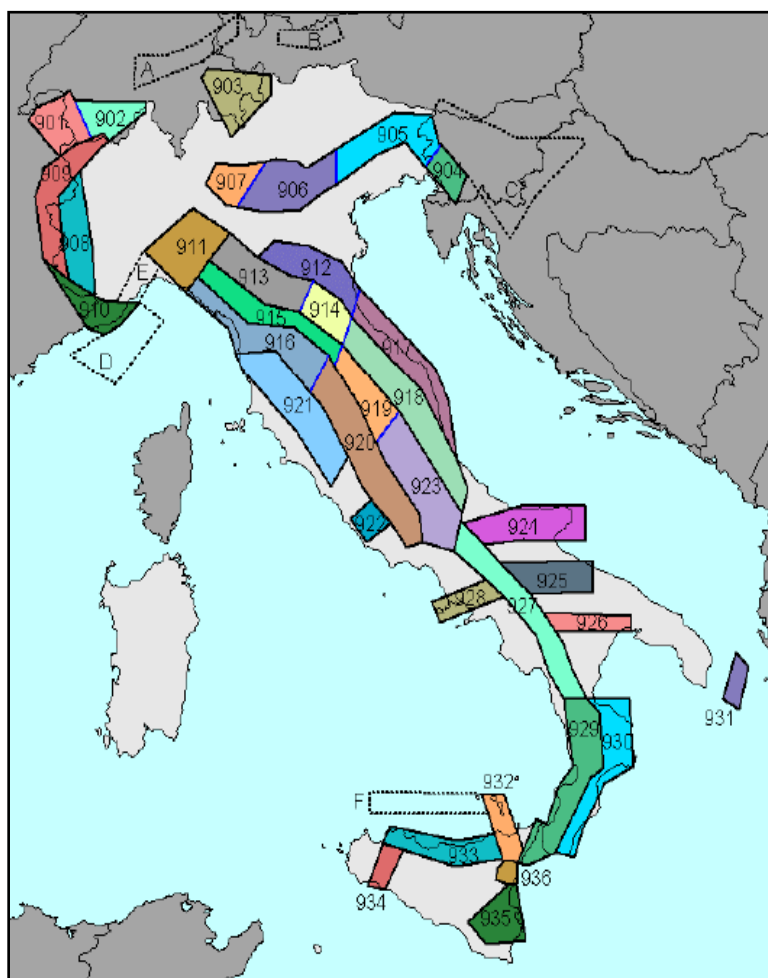


Fig. 10 - Zonazione Sismogenetica ZS9

Il territorio di Gravina in Puglia, non ricade all'interno di alcuna zona della zonazione sismogenetica ZS9.

L'O.P.C.M. 3274/2003 prevede anche una pericolosità dipendente dalle caratteristiche geologiche del sito, espressa secondo il concetto di categoria di suolo di fondazione, che a sua volta si basa sulla concetto di  $V_{s,30}$ , ovvero di velocità equivalente delle onde S nei primi 30 m di spessore. Tale parametro è determinato tramite indagini geofisiche oppure tramite indagini geotecniche che forniscono il valore di  $N_{spt}$ .

In base alle Nuove norme Tecniche per le Costruzioni del 17/01/2018, emesse ai sensi delle leggi 05/11/1971 n. 1086, 02/02/1974 n. 64, così come riunite nel Testo Unico per l'Edilizia di cui al D.P.R. 06/06/2001 n. 380, e all'art. 5 del decreto legge 28/05/2004 n. 136, convertito in legge, con modificazioni, dall'art. 1 della legge 27/07/2004 n. 186 e ss. mm. ii, si definiscono i principi per il progetto, l'esecuzione e il collaudo delle costruzioni, nei riguardi delle prestazioni loro richieste in termini di requisiti essenziali di resistenza meccanica e stabilità, anche in caso d'incendio, e di durabilità. Esse forniscono, quindi, i criteri generali di sicurezza, precisano le azioni che devono

essere utilizzate nel progetto, definiscono le caratteristiche dei materiali e dei prodotti e, più in generale, trattano gli aspetti attinenti alla sicurezza strutturale delle opere.

In particolare, le azioni sismiche di progetto, in base alle quali valutare il rispetto dei diversi stati limite considerati, si definiscono a partire dalla "pericolosità sismica di base" del sito di costruzione. Essa costituisce l'elemento di conoscenza primario per la determinazione delle azioni sismiche.

La definizione di "pericolosità sismica di base" è espressa in termini di accelerazione orizzontale massima prevista su substrato di riferimento rigido con superficie topografica orizzontale (bedrock, suolo A), nonché in ordinate dello spettro di risposta elastico in accelerazione in essa corrispondente  $S_e(T)$ , con riferimento a prefissate probabilità di eccedenza  $P_vR$ , nel periodo di riferimento  $V_R$ .

Ai fini della suddetta normativa, le forme spettrali sono definite, per ciascuna delle probabilità di superamento nel periodo di riferimento  $P_vR$ , a partire dai seguenti valori dei parametri su sito di riferimento rigido orizzontale:

ag accelerazione orizzontale massima al sito;

Fo valore massimo del fattore di amplificazione dello spettro in accelerazione orizzontale;

Tc periodo di inizio del tratto a velocità costante dello spettro in accelerazione orizzontale.

La zona investigata ricade nell'ambito del territorio Comunale di Gravina in Puglia che, in base alla classificazione sismica nazionale (O.P.C.M. 2003), rientra in **zona 3**.

<i>zona sismica</i>	<i>Accelerazione orizzontale con probabilità di superamento pari al 10% in 50 anni [ag/g]</i>	<i>Accelerazione orizzontale di ancoraggio dello spettro di risposta elastico [ag/g]</i>
1	> 0.25	0.35
2	0.15 – 0.25	0.25
 3	0.05 – 0.15	0.15
4	< 0.05	0.05

**Fig. 11 - Valori di accelerazione orizzontale nelle zone sismiche**

Sulla base della mappa di pericolosità sismica del territorio nazionale, il territorio in questione si colloca in un'area in cui si possono verificare valori di accelerazione di picco orizzontale del suolo ( $a_g$ ), con probabilità di superamento del 10 % in 50 anni, compresi tra 0.05 e 0.15  $ag/g$ .

Si riporta il risultato della consultazione tramite il sito <http://esse1-gis.mi.ingv.it> della mappa probabilistica della pericolosità sismica del territorio nazionale, espressa su una griglia regolare a passo  $0.02^\circ$ , relativamente al parametro dello scuotimento rappresentato da  $a_g$  (accelerazione orizzontale massima del suolo).

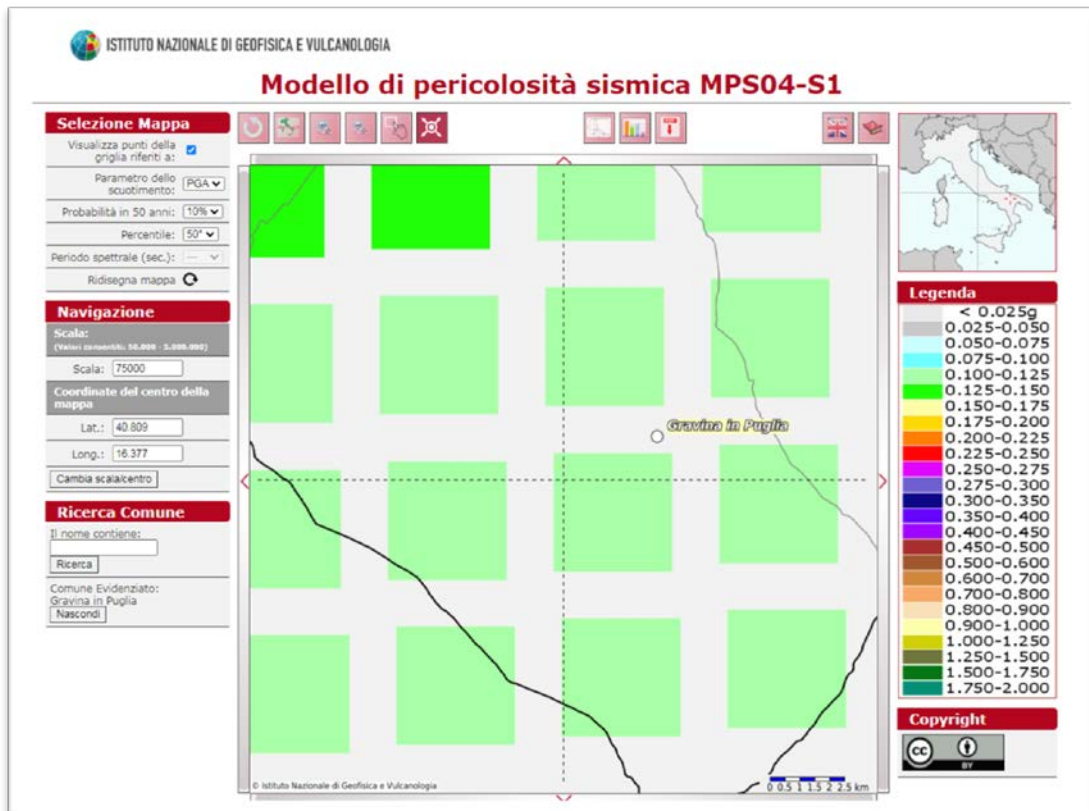


Fig. 12 - Stralcio della mappa interattiva di pericolosità sismica del territorio di Gravina in Puglia. I punti visualizzati si riferiscono a: parametro dello scuotimento  $a_g$ ; probabilità di superamento del 10% in 50 anni.

## **SCENARI DI PERICOLOSITÀ SISMICA LOCALE ED EFFETTI DI SITO**

Ai fini della definizione dell'azione sismica di progetto, si rende necessario valutare l'effetto della risposta sismica locale mediante specifiche analisi; in assenza di tali analisi, si può fare riferimento ad un approccio semplificato, che si basa sull'individuazione di categorie di sottosuolo di riferimento, attraverso la misura delle  $V_s$ . In particolare si valuta:

- **Effetti Stratigrafici** legati alla successione stratigrafica, alle proprietà meccaniche dei terreni, alla geometria del contatto tra il substrato rigido e i terreni sovrastanti ed alla geometria dei contatti tra gli strati di terreno;

- **Effetti Topografici** legati alla configurazione topografica del piano campagna. La modifica delle caratteristiche del moto sismico per effetto della geometria superficiale del terreno va attribuita alla focalizzazione delle onde sismiche in prossimità della cresta dei rilievi a seguito dei fenomeni di riflessione delle onde sismiche ed all'interazione tra il campo d'onda incidente e quello diffratto. I fenomeni di amplificazione cresta-base aumentano in proporzione al rapporto tra l'altezza del rilievo e la sua larghezza.

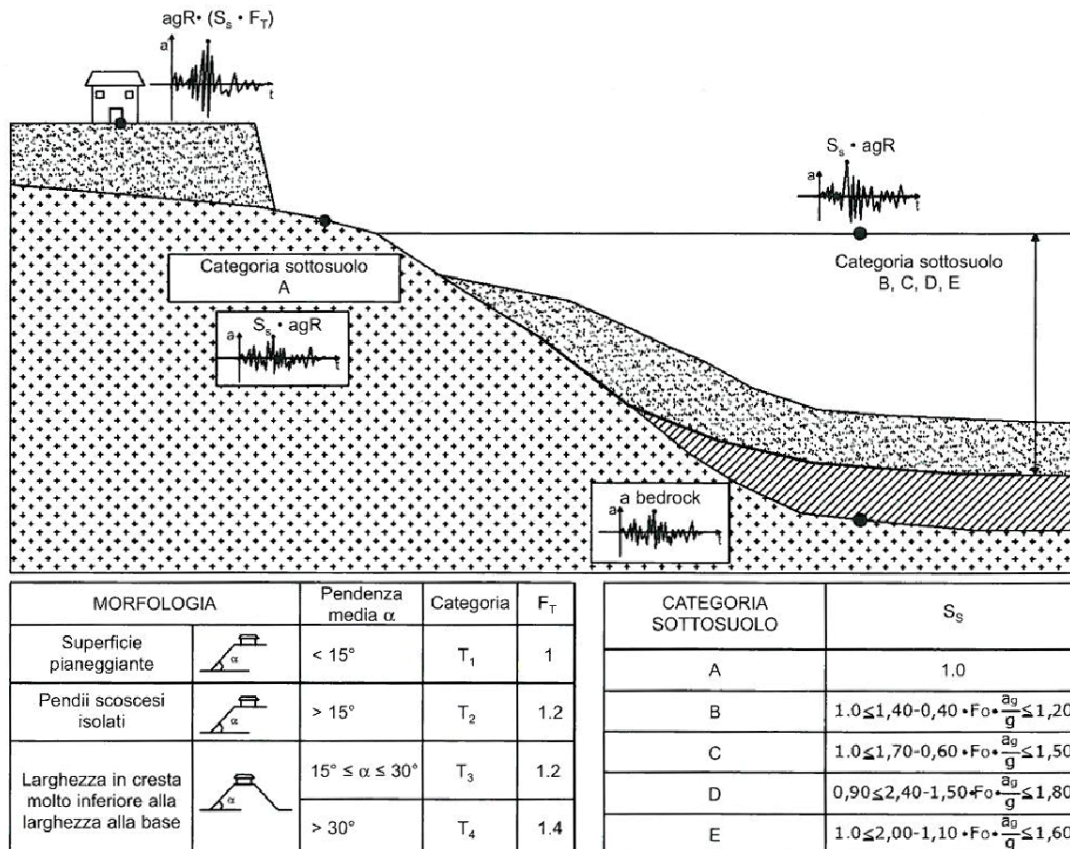


Fig. 13 - Rappresentazione schematica del significato delle accelerazioni, delle classi di categoria di suolo e del fattore topografico (da Microsism - procedure automatiche di microzonazione sismica, Giulio Riga)

### Effetti stratigrafici

L'amplificazione stratigrafica è attesa su suoli di categoria diversa da A, caratterizzati da  $V_s < 800$  m/s e spessori  $>$  di 3 metri. Qualsiasi tipologia di suolo (roccia o deposito quaternario) che possiede  $V_s > 800$  m/s rientra, invece, nella categoria A ed è considerata bedrock sismico, quindi non in grado di generare amplificazione stratigrafica. Ai fini della definizione dell'azione sismica di progetto, si individuano le seguenti categorie di sottosuolo:

Categorie	Descrizione
A	<i>Ammassi rocciosi affioranti o terreni molto rigidi caratterizzati da valori di velocità delle onde di taglio superiori a 800 m/s, eventualmente comprendenti in superficie terreni di caratteristiche meccaniche più scadenti con spessore massimo pari a 3 m.</i>
B	<i>Rocce tenere e depositi di terreni a grana grossa molto addensati o terreni a grana fina molto consistenti, caratterizzati da un miglioramento delle proprietà meccaniche con la profondità e da valori di velocità equivalente compresi tra 360 m/s e 800 m/s.</i>
C	<i>Depositati di terreni a grana grossa mediamente addensati o terreni a grana fina mediamente consistenti con profondità del substrato superiori a 30 m, caratterizzati da un miglioramento delle proprietà meccaniche con la profondità e da valori di velocità equivalente compresi tra 180 m/s e 360 m/s.</i>
D	<i>Depositati di terreni a grana grossa scarsamente addensati o di terreni a grana fina scarsamente consistenti, con profondità del substrato superiori a 30 m, caratterizzati da un miglioramento delle proprietà meccaniche con la profondità e da valori di velocità equivalente compresi tra 100 e 180 m/s.</i>
E	<i>Terreni con caratteristiche e valori di velocità equivalente riconducibili a quelle definite per le categorie C o D, con profondità del substrato non superiore a 30 m.</i>

Il coefficiente di amplificazione stratigrafica  $S_s$  può essere calcolato in funzione dei valori di  $F_0$  e  $a_g/g$ , mediante le seguenti espressioni:

Categoria	$S_s$
A	1
B	$1,00 \leq 1,40 - 0,40 F_0 a_g/g \leq 1,20$
C	$1,00 \leq 1,70 - 0,60 F_0 a_g/g \leq 1,50$
D	$0,90 \leq 2,40 - 1,50 F_0 a_g/g \leq 1,80$
E	$1,00 \leq 2,00 - 1,10 F_0 a_g/g \leq 1,60$

nelle quali:

$F_0$  = fattore che quantifica l'amplificazione spettrale massima, su sito di riferimento rigido orizzontale; ha valore minimo pari a 2.2.

$a_g$  = accelerazione orizzontale massima del terreno su sito di riferimento rigido orizzontale;

$g$  = accelerazione di gravità.

La classificazione del sottosuolo si effettua in base alle condizioni stratigrafiche ed ai valori della velocità equivalente di propagazione delle onde di taglio,  $V_{S,eq}$  (in m/s), definita dall'espressione:

$$V_{S,eq} = \frac{H}{\sum_{i=1}^N \frac{h_i}{V_{S,i}}}$$

Dove:

$h_i$  spessore dell' $i$ -esimo strato;

$V_{s,i}$  velocità delle onde di taglio nell' $i$ -esimo strato;

$N$  numero di strati;

$H$  profondità del substrato, definito come quella formazione costituita da roccia o terreno molto rigido, caratterizzata da  $V_s$  non inferiore a 800 m/s.

In base alle prospezioni sismiche effettuate, e alla profondità del piano di posa delle fondazioni, è scaturito un valore di  $V_{seq}$  di 407.96 (m/s) per la prova M1 (area impianto) pertanto, il terreno interessato può essere classificato come di **Categoria B**; e un valore di  $V_{seq}$  di 334.22 (m/s) per la prova Mse (Stazione Elettrica) pertanto, il terreno interessato può essere classificato come di **Categoria C**.

### Effetti topografici

La focalizzazione (o concentrazione) delle onde sismiche in corrispondenza di creste, cime o cigli di scarpata è il fenomeno che sta alla base della cosiddetta "amplificazione topografica". L'amplificazione topografica è massima in corrispondenza di linee di cresta/cigli di scarpata e poi decresce con modelli complessi allontanandoci da esse.

Per configurazioni superficiali semplici si può adottare la seguente classificazione:

Categoria	Caratteristiche della superficie topografica
T1	Superficie pianeggiante, pendii e rilievi isolati con inclinazione media $i \leq 15^\circ$
T2	Pendii con inclinazione media $i > 15^\circ$
T3	Rilievi con larghezza in cresta molto minore che alla base e inclinazione media $15^\circ \leq i \leq 30^\circ$
T4	Rilievi con larghezza in cresta molto minore che alla base e inclinazione media $i > 30^\circ$

a cui corrispondono i seguenti valori del coefficiente topografico:

Categoria	Ubicazione dell'opera o dell'intervento	$S_T$
T1	-	1,00
T2	In corrispondenza della sommità del pendio	1,20
T3	In corrispondenza della cresta del rilievo	1,20
T4	In corrispondenza della cresta del rilievo	1,40

Le suesposte categorie topografiche si riferiscono a configurazioni geometriche prevalentemente bidimensionali, creste o dorsali allungate, e devono essere considerate nella definizione dell'azione sismica se di altezza maggiore di 30 m.

Considerando che la zona interessata dal progetto è situata nel territorio comunale di Gravina in Puglia, su un terreno con pendenze medie di 1-2°, si può concludere, che la categoria topografica di pertinenza è la **T1**: "Superficie pianeggiante, pendii e rilievi isolati con inclinazione media  $i \leq 15^\circ$ ".

## **STABILITA' DEL PENDIO**

---

Ricordando quanto detto nel paragrafo *caratteristiche geomorfologiche* al quale si rimanda esplicitamente, è possibile classificare il sito come di Categoria topografica T1 in quanto le pendenze medie del versante (inferiori ai 5°) sono sempre inferiori ai 15° per come previsto dalla normativa vigente. I versanti caratterizzati da categoria topografica T1 in genere sono favorevoli alla stabilità; tuttavia, ci sono alcune litologie come ad esempio proprio le argille subappennine che possono innescare dei movimenti gravitativi anche con blande pendenze. Generalmente la presenza di acque superficiali che scorrono in modo disordinato lungo i versanti favoriscono l'innescare di tali fenomeni.

Per la buona riuscita delle opere di cui in progetto e per scongiurare l'innescare di movimenti franosi, risulta di fondamentale importanza una corretta regimazione delle acque superficiali e di ruscellamento, mediante specifiche opere di presidio idraulico (vespai, canalizzazioni ecc) da estendere adeguatamente attorno all'area d'interesse, con il loro recapito fino agli elementi naturali e/o artificiali più vicini e sicuri.

## **POTENZIALE DI LIQUEFAZIONE**

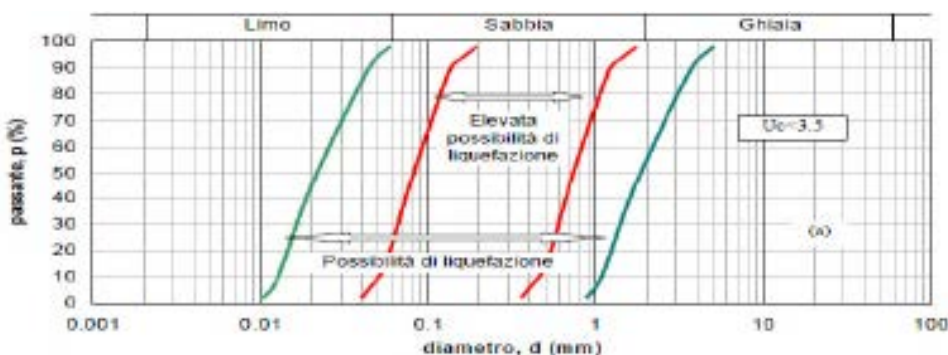
---

Le "Norme tecniche per le costruzioni" del 2018 (D.M. 17.01.2018), al § 7.11.3.4, "stabilità nei confronti della liquefazione", forniscono la seguente definizione nei riguardi di tale possibile manifestazione: "fenomeni associati alla perdita di resistenza al taglio o ad accumulo di deformazioni plastiche in terreni saturi, prevalentemente sabbiosi, sollecitati da azioni cicliche e dinamiche che agiscono in condizioni non drenate".

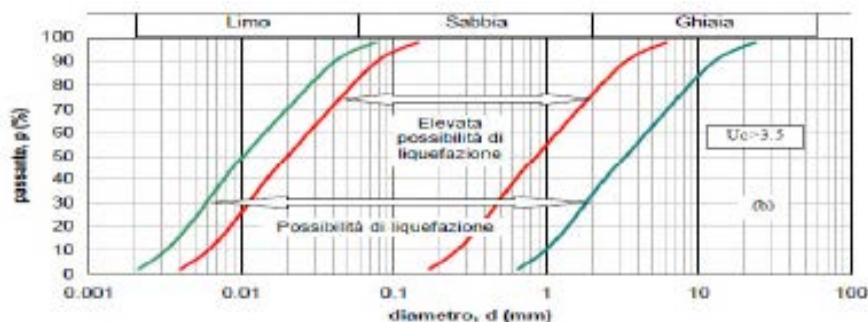
Ciò avviene quando la pressione dell'acqua nei pori aumenta progressivamente fino ad eguagliare la pressione totale di confinamento e quindi allorché gli sforzi efficaci, da cui dipende la resistenza al taglio, si riducono a zero. In questo contesto, il problema principale che si pone in fase di progettazione è la suscettibilità alla liquefazione quando la falda freatica si trova in prossimità

della superficie, ed il terreno di fondazione comprende strati estesi o lenti spesse di sabbie sciolte sotto falda, anche se contenenti una frazione fine lino-argillosa. In riferimento al § 7.11.3.4.2, "Esclusione della verifica a liquefazione", della sopracitata normativa, la verifica a liquefazione può essere omessa quando si manifesti almeno una delle seguenti circostanze:

1. accelerazioni massime attese al piano campagna in assenza di manufatti (condizioni di campo libero) minori di 0,1 g;
2. profondità media stagionale della falda superiore a 15 m dal piano campagna, per piano campagna sub-orizzontale e strutture con fondazioni superficiali;
3. depositi costituiti da sabbie pulite con resistenza penetrometrica normalizzata  $(N1)_{60} > 30$  oppure  $qc_{1N} > 180$  dove  $(N1)_{60}$  è il valore della resistenza determinata in prove penetrometriche dinamiche (Standard Penetration Test) normalizzata ad una tensione efficace verticale di 100 kPa e  $qc_{1N}$  è il valore della resistenza determinata in prove penetrometriche statiche (Cone Penetration Test) normalizzata ad una tensione efficace verticale di 100 kPa;
4. distribuzione granulometrica esterna alle zone indicate nella Figura successiva a nel caso di terreni con coefficiente di uniformità  $U_c < 3,5$  ed in Figura b nel caso di terreni con coefficiente di uniformità  $U_c > 3,5$ .



*a. Fasce granulometriche per la valutazione preliminare della suscettibilità alla liquefazione di un terreno per i terreni con coefficiente di uniformità  $U_c < 3,5$  (da AGI, 2005).*



*b. Fasce granulometriche per la valutazione preliminare della suscettibilità alla liquefazione di un terreno per i terreni con coefficiente di uniformità  $U_c > 3,5$  (da AGI, 2005).*

Nel caso dell'area in esame non si ritiene possano sussistere le condizioni per il verificarsi del fenomeno di liquefazione per la soggiacenza della falda freatica a profondità decisamente maggiori dei 15 m dal piano campagna.

## **CONCLUSIONI**

---

Il presente studio geologico è stato redatto, su incarico della società **New Developments s.r.l.**, al fine di definire le condizioni geolitologiche, geomorfologiche, idrologiche, geomeccaniche e sismologiche di un'area interessata dal **Progetto definitivo impianto fotovoltaico denominato "Pescarella"** - Comune di Gravina in Puglia (BA).

In considerazione delle finalità di progetto, si possono effettuare le seguenti considerazioni conclusive:

- Dal punto di vista geologico è possibile definire il seguente modello geologico per l'area impianti :

- **Depositi sedimentari alluvionali siltosi/sabbiosi** poco consistenti - con spessore di circa 2,5 / 3 m;
- **Depositi sedimentari alluvionali siltosi/sabbiosi** mediamente consistenti - con spessore di circa 6 m;
- **Depositi sedimentari alluvionali siltosi/sabbiosi** consistenti - con spessore > 30 m;

e il seguente modello geologico per quanto concerne l'area della sottostazione elettrica:

- **Depositi sedimentari conglomeratici/sabbiosi** poco consistenti - con spessore di circa 2 m;
- **Depositi sedimentari conglomeratici/sabbiosi** mediamente consistenti - con spessore di circa 10 m;
- **Depositi sedimentari conglomeratici/sabbiosi** consistenti - con spessore > 30 m;

- Dal punto di vista geomorfologico l'area in oggetto si presenta quasi pianeggiante con pendenza media inferiore ai 5° (Categoria Topografica T1);
- All'interno della cartografia P.A.I. non sono presenti movimenti franosi;
- Dal punto di vista idrogeologico il sistema idrografico, costituito da piccoli canali, presenta un andamento di tipo lineare di bassissimo ordine gerarchico e si sviluppa in loco sulle formazioni sedimentarie; la falda si attesta a grandi profondità dal p.c.;

- Dal punto di vista geotecnico i parametri geotecnici utili ai fini della progettazione degli interventi in oggetto vengono elencati nel capitolo "*caratterizzazione geotecnica*".
- Dal punto di vista sismico, il territorio di Gravina in Puglia, ricade in una zona con accelerazione sismica su substrato di riferimento (bedrock, suolo A) compreso tra 0,100 e 0,125  $a_g/g$ , collocando il territorio comunale in "Zona Sismica 3". Dalle risultanze delle M.A.S.W. effettuate, la categoria del sottosuolo è riconducibile alla Classe C (velocità equivalente compresa tra 180 m/s e 360 m/s) per quanto concerne sia l'area impianti che l'area della sottostazione elettrica.

Non si segnalano rischi particolari per quanto riguarda la realizzazione di tale impianto fotovoltaico e della sottostazione; tuttavia si raccomanda di effettuare una *corretta regimazione delle acque superficiali e di ruscellamento, mediante la realizzazione di specifiche opere di presidio idraulico (vespai, canalizzazioni ecc) da estendere adeguatamente attorno all'area d'interesse, con il loro recapito fino agli elementi naturali e/o artificiali più vicini e sicuri.*

Il geologo

Dott. Eugenio Martire

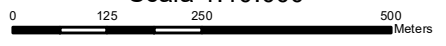
## ***ELABORATI CARTOGRAFICI***




**Autorità di Bacino Distrettuale dell'Appennino Meridionale**

**Piano stralcio per la difesa dal rischio idrogeologico**

Scala 1:10.000



-  Cavidotto
-  Delimitazione area impianto
-  Sottostazione Elettrica
-  Stazione Elettrica

**Tipologie di Rischio Inondazione**

-  Aree a rischio di inondazione Tr=30 anni
-  Aree a rischio di inondazione Tr=200 anni
-  Aree a rischio di inondazione Tr=500 anni

**Tipologie di Rischio Frana**

-  R4 - molto elevato
-  R3 - elevato
-  R2 - medio
-  R1 - moderato
-  ASV - aree assoggettate a verifica idrogeologica
-  P - aree pericolose



# Studio Geologico di **MARTIRE Eugenio**

Via UMBRIA 7

87046 MONTALTO UFFUGO (CS)

Tel. 3895566768 - [geologomartire84@pec.it](mailto:geologomartire84@pec.it)

**Geolo*i*Cal**  
www.geologicalaltervista.org

## OGGETTO

**Progetto definitivo impianto fotovoltaico denominato  
"PESCARELLA"**

## ELABORATO

**RELAZIONE TECNICA SULLE INDAGINI**

### COMMITTENTE:

NEW DEVELOPMENTS s.r.l.

### LOCALITA' ESECUZIONE INDAGINI:

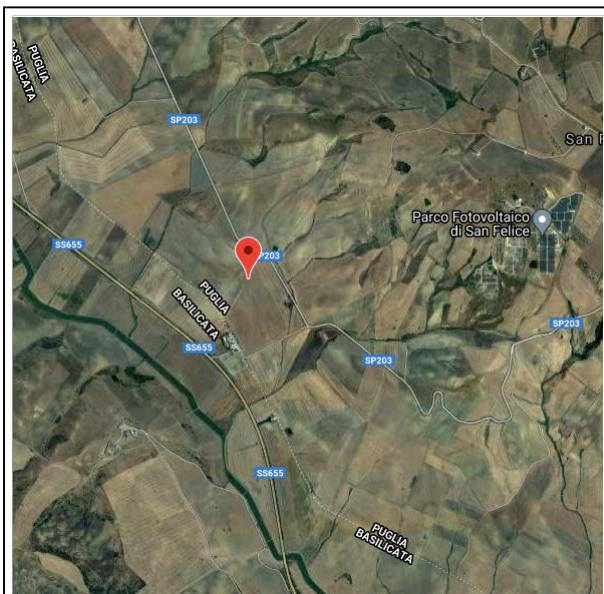
GRAVINA IN PUGLIA (BA)

### DATA ESECUZIONE INDAGINI:

04 NOVEMBRE 2021

### IL TECNICO:

Dott. Geol. Eugenio MARTIRE



## INDICE

PREMESSA.....	2
DESCRIZIONE PROVA PENETROMETRICA DINAMICA .....	2
ELABORAZIONE PROVA PENETROMETRICA DPM_1 (P1).....	9
ELABORAZIONE PROVA PENETROMETRICA DPM_2 (P2).....	13
ELABORAZIONE PROVA PENETROMETRICA DPM_3 (Pse).....	17
DESCRIZIONE INDAGINE GEOFISICA MASW .....	21
ELABORAZIONE INDAGINE MASW_1 (M1).....	23
ELABORAZIONE INDAGINE MASW_2 (Mse).....	29
REPERTORIO FOTOGRAFICO DELLE INDAGINI.....	35

### ALLEGATI

- Carta ubicazione indagini in scala 1:10.000

## Premessa

Su incarico della società **New Developments S.r.l.**, in riferimento al: **Progetto definitivo impianto fotovoltaico denominato "PESCARELLA"**, il sottoscritto Geologo Eugenio MARTIRE, ha eseguito in data 04/11/2021, una campagna di indagini geognostiche costituita da:

- n° 3 prove penetrometriche dinamiche DPM30;
- n° 2 prospezioni sismiche di tipo MASW.

Le prove penetrometriche hanno consentito la determinazione della stratigrafia dei litotipi e la determinazione indiretta dei parametri geotecnici del sottosuolo.

La prospezione sismica di tipo MASW ha consentito di definire la velocità media delle onde S nei primi metri di profondità. La misura delle Vs è di fondamentale importanza per la caratterizzazione del sottosuolo di un sito secondo quanto previsto dalle recenti normative antisismiche (O.P.C.M. 3274/03; O.P.C.M. 3431/05; D.M. 17 gennaio 2018).

Tutte le informazioni di natura tecnica relative alle indagini eseguite unitamente all'interpretazione litologica e stratigrafica non sono commentate nella presente relazione di sintesi.

## Descrizione prova penetrometrica dinamica

La prova penetrometrica dinamica consiste nell'infiggere nel terreno una punta conica (per tratti consecutivi  $\delta$ ) misurando il numero di colpi N necessari.

Le Prove Penetrometriche Dinamiche sono molto diffuse ed utilizzate nel territorio da geologi e geotecnici, data la loro semplicità esecutiva, economicità e rapidità di esecuzione.

La loro elaborazione, interpretazione e visualizzazione grafica consente di "catalogare e parametrizzare" il suolo attraversato con un'immagine in continuo, che permette anche di avere un raffronto sulle consistenze dei vari livelli attraversati e una correlazione diretta con sondaggi geognostici per la caratterizzazione stratigrafica.

La sonda penetrometrica permette inoltre di riconoscere abbastanza precisamente lo spessore delle coltri sul substrato, la quota di eventuali falde e superfici di rottura sui pendii, e la consistenza in generale del terreno.

L'utilizzo dei dati, ricavati da correlazioni indirette e facendo riferimento a vari autori, dovrà comunque essere trattato con le opportune cautele e, possibilmente, dopo esperienze geologiche acquisite in zona.

Elementi caratteristici del penetrometro dinamico sono i seguenti:

- peso massa battente M
- altezza libera caduta H
- punta conica: diametro base cono D, area base A (angolo di apertura  $\alpha$ )
- avanzamento (penetrazione)  $\delta$
- presenza o meno del rivestimento esterno (fanghi bentonitici).

Con riferimento alla classificazione ISSMFE (1988) dei diversi tipi di penetrometri dinamici (vedi tabella sotto riportata) si rileva una prima suddivisione in quattro classi (in base al peso M della massa battente) :

- tipo LEGGERO (DPL)
- tipo MEDIO (DPM)
- tipo PESANTE (DPH)
- tipo SUPERPESANTE (DPSH)

**Classificazione ISSMFE dei penetrometri dinamici:**

Tipo	Sigla di riferimento	peso della massa M (kg)	prof.max indagine battente (m)
Leggero	DPL (Light)	$M \leq 10$	8
Medio	DPM (Medium)	$10 < M < 40$	20-25
Pesante	DPH (Heavy)	$40 \leq M < 60$	25
Super pesante (Super Heavy)	DPSH	$M \geq 60$	25

In Italia risultano attualmente in uso i seguenti tipi di penetrometri dinamici (non rientranti però nello Standard ISSMFE):

- DINAMICO LEGGERO ITALIANO (DL-30) (MEDIO secondo la classifica ISSMFE)  
massa battente  $M = 30$  kg, altezza di caduta  $H = 0.20$  m, avanzamento  $\delta = 10$  cm, punta conica ( $\alpha = 60-90^\circ$ ), diametro  $D = 35.7$  mm, area base cono  $A = 10$  cm<sup>2</sup> rivestimento / fango bentonitico : talora previsto;

- DINAMICO LEGGERO ITALIANO (DL-20) (MEDIO secondo la classifica ISSMFE)  
massa battente  $M = 20$  kg, altezza di caduta  $H = 0.20$  m, avanzamento  $\delta = 10$  cm, punta conica ( $\alpha = 60-90^\circ$ ), diametro  $D = 35.7$  mm, area base cono  $A = 10$  cm<sup>2</sup> rivestimento / fango bentonitico : talora previsto;

- DINAMICO PESANTE ITALIANO (SUPERPESANTE secondo la classifica ISSMFE)  
massa battente  $M = 73$  kg, altezza di caduta  $H = 0.75$  m, avanzamento  $\delta = 30$  cm, punta conica ( $\alpha = 60^\circ$ ), diametro  $D = 50.8$  mm, area base cono  $A = 20.27$  cm<sup>2</sup> rivestimento: previsto secondo precise indicazioni;

- DINAMICO SUPERPESANTE (Tipo EMILIA)  
massa battente  $M = 63.5$  kg, altezza caduta  $H = 0.75$  m, avanzamento  $\delta = 20-30$  cm, punta conica conica ( $\alpha = 60^\circ-90^\circ$ ) diametro  $D = 50.5$  mm, area base cono  $A = 20$  cm<sup>2</sup>, rivestimento / fango bentonitico : talora previsto.

**Correlazione con N<sub>spt</sub>**

Poiché la prova penetrometrica standard (SPT) rappresenta, ad oggi, uno dei mezzi più diffusi ed economici per ricavare informazioni dal sottosuolo, la maggior parte delle correlazioni esistenti riguardano i valori del numero di colpi N<sub>spt</sub> ottenuto con la suddetta prova, pertanto si presenta la necessità di rapportare il numero di colpi di una prova dinamica con N<sub>spt</sub>. Il passaggio viene dato da:

$$N_{spt} = \beta_t N$$

Dove:

$$\beta_t = \frac{Q}{Q_{SPT}}$$

in cui Q è l'energia specifica per colpo e Q<sub>spt</sub> è quella riferita alla prova SPT.

L'energia specifica per colpo viene calcolata come segue:

$$Q = \frac{M^2 \cdot H}{A \cdot \delta \cdot (M + M')}$$

in cui

- M = peso massa battente;
- M' = peso aste;
- H = altezza di caduta;
- A = area base punta conica;
- δ = passo di avanzamento.

## Valutazione resistenza dinamica alla punta Rpd

Formula Olandesi

$$Rpd = \frac{M^2 \cdot H}{[A \cdot e \cdot (M + P)]} = \frac{M^2 \cdot H \cdot N}{[A \cdot \delta \cdot (M + P)]}$$

Rpd = resistenza dinamica punta (area A);  
e = infissione media per colpo ( $\delta/N$ );  
M = peso massa battente (altezza caduta H);  
P = peso totale aste e sistema battuta.

## Calcolo di (N<sub>1</sub>)<sub>60</sub>

(N<sub>1</sub>)<sub>60</sub> è il numero di colpi normalizzato definito come segue:

$$(N_1)_{60} = C_N \times N_{60} \text{ con } C_N = \sqrt{(Pa/\sigma^2_{vo})} \quad C_N < 1.7 \quad Pa = 101.32 \text{ kPa (Liao e Whitman 1986)}$$

$$N_{60} = N_{SPT} \times (ER/60) \times C_S \times C_T \times C_d$$

ER/60: Rendimento del sistema di infissione normalizzato al 60%.  
C<sub>S</sub>: Parametro funzione della controcamicia (1.2 se assente).  
C<sub>d</sub>: Funzione del diametro del foro (1 se compreso tra 65-115mm).  
C<sub>T</sub>: Parametro di correzione funzione della lunghezza delle aste.

## Metodologia di Elaborazione.

Le elaborazioni sono state effettuate mediante un programma di calcolo automatico Dynamic Probing della GeoStru Software.

Il programma calcola il rapporto delle energie trasmesse (coefficiente di correlazione con SPT) tramite le elaborazioni proposte da Pasqualini 1983 - Meyerhof 1956 - Desai 1968 - Borowczyk-Frankowsky 1981.

Permette inoltre di utilizzare i dati ottenuti dall'effettuazione di prove penetrometriche per estrapolare utili informazioni geotecniche e geologiche.

Una vasta esperienza acquisita, unitamente ad una buona interpretazione e correlazione, permettono spesso di ottenere dati utili alla progettazione e frequentemente dati maggiormente attendibili di tanti dati bibliografici sulle litologie e di dati geotecnici determinati sulle verticali litologiche da poche prove di laboratorio eseguite come rappresentazione generale di una verticale eterogenea disuniforme e/o complessa.

In particolare consente di ottenere informazioni su:

- l'andamento verticale e orizzontale degli intervalli stratigrafici,
- la caratterizzazione litologica delle unità stratigrafiche,
- i parametri geotecnici suggeriti da vari autori in funzione dei valori del numero dei colpi e delle resistenza alla punta.

## Valutazioni statistiche e correlazioni

### Elaborazione Statistica

Permette l'elaborazione statistica dei dati numerici, utilizzando nel calcolo dei valori rappresentativi dello strato considerato un valore inferiore o maggiore della media aritmetica dello strato (dato comunque maggiormente utilizzato); i valori possibili in immissione sono:

#### Media

Media aritmetica dei valori del numero di colpi sullo strato considerato.

#### Media minima

Valore statistico inferiore alla media aritmetica dei valori del numero di colpi sullo strato considerato.

**Massimo**

Valore massimo dei valori del numero di colpi sullo strato considerato.

**Minimo**

Valore minimo dei valori del numero di colpi sullo strato considerato.

**Scarto quadratico medio**

Valore statistico di scarto dei valori del numero di colpi sullo strato considerato.

**Media deviata**

Valore statistico di media deviata dei valori del numero di colpi sullo strato considerato.

**Media + s**

Media + scarto (valore statistico) dei valori del numero di colpi sullo strato considerato.

**Media - s**

Media - scarto (valore statistico) dei valori del numero di colpi sullo strato considerato.

**Distribuzione normale R.C.**

Il valore di  $N_{spt,k}$  viene calcolato sulla base di una distribuzione normale o gaussiana, fissata una probabilità di non superamento del 5%, secondo la seguente relazione:

$$N_{spt,k} = N_{spt,medio} - 1.645 \cdot (\sigma_{N_{spt}})$$

dove  $s_{N_{spt}}$  è la deviazione standard di  $N_{spt}$

**Distribuzione normale R.N.C.**

Il valore di  $N_{spt,k}$  viene calcolato sulla base di una distribuzione normale o gaussiana, fissata una probabilità di non superamento del 5%, trattando i valori medi di  $N_{spt}$  distribuiti normalmente:

$$N_{spt,k} = N_{spt,medio} - 1.645 \cdot (\sigma_{N_{spt}}) / \sqrt{n}$$

dove  $n$  è il numero di letture.

**Pressione ammissibile**

Pressione ammissibile specifica sull'interstrato (con effetto di riduzione energia per svergolamento aste o no) calcolata secondo le note elaborazioni proposte da Herminier, applicando un coefficiente di sicurezza (generalmente = 20-22) che corrisponde ad un coefficiente di sicurezza standard delle fondazioni pari a 4, con una geometria fondale standard di larghezza pari a 1 mt. ed immorsamento  $d = 1$  mt.

**Correlazioni geotecniche terreni incoerenti**

**Liquefazione**

Permette di calcolare utilizzando dati  $N_{spt}$  il potenziale di liquefazione dei suoli (prevalentemente sabbiosi).

Attraverso la relazione di *SHI-MING (1982)*, applicabile a terreni sabbiosi, la liquefazione risulta possibile solamente se  $N_{spt}$  dello strato considerato risulta inferiore a  $N_{spt}$  critico calcolato con l'elaborazione di *SHI-MING*.

**Correzione  $N_{spt}$  in presenza di falda**

$N_{spt} \text{ corretto} = 15 + 0.5 \times (N_{spt} - 15)$

$N_{spt}$  è il valore medio nello strato

La correzione viene applicata in presenza di falda solo se il numero di colpi è maggiore di 15 (la correzione viene eseguita se tutto lo strato è in falda).

**Angolo di Attrito**

- Peck-Hanson-Thornburn-Meyerhof 1956 - Correlazione valida per terreni non molli a prof. < 5 mt.; correlazione valida per sabbie e ghiaie rappresenta valori medi. - Correlazione storica molto usata, valevole per prof. < 5 mt. per terreni sopra falda e < 8 mt. per terreni in falda (tensioni < 8-10 t/mq)
- Meyerhof 1956 - Correlazioni valide per terreni argillosi ed argillosi-marnosi fessurati, terreni di riporto sciolti e coltri detritiche (da modifica sperimentale di dati).
- Sowers 1961)- Angolo di attrito in gradi valido per sabbie in genere (cond. ottimali per prof. < 4 mt. sopra falda e < 7 mt. per terreni in falda)  $\sigma > 5$  t/mq.

- De Mello - Correlazione valida per terreni prevalentemente sabbiosi e sabbioso-ghiaiosi (da modifica sperimentale di dati) con angolo di attrito  $< 38^\circ$  .
- Malcev 1964 - Angolo di attrito in gradi valido per sabbie in genere (cond. ottimali per prof.  $> 2$  m. e per valori di angolo di attrito  $< 38^\circ$  ).
- Schmertmann 1977- Angolo di attrito (gradi) per vari tipi litologici (valori massimi). N.B. valori spesso troppo ottimistici poiché desunti da correlazioni indirette da  $D_r$  %.
- Shioi-Fukuni 1982 (ROAD BRIDGE SPECIFICATION) Angolo di attrito in gradi valido per sabbie - sabbie fini o limose e limi siltosi (cond. ottimali per prof. di prova  $> 8$  mt. sopra falda e  $> 15$  mt. per terreni in falda)  $\sigma > 15$  t/mq.
- Shioi-Fukuni 1982 (JAPANESE NATIONALE RAILWAY) Angolo di attrito valido per sabbie medie e grossolane fino a ghiaiose .
- Angolo di attrito in gradi (Owasaki & Iwasaki) valido per sabbie - sabbie medie e grossolane-ghiaiose (cond. ottimali per prof.  $> 8$  mt. sopra falda e  $> 15$  mt. per terreni in falda)  $\sigma > 15$  t/mq.
- Meyerhof 1965 - Correlazione valida per terreni per sabbie con % di limo  $< 5\%$  a profondità  $< 5$  mt. e con % di limo  $> 5\%$  a profondità  $< 3$  mt.
- Mitchell e Katti (1965) - Correlazione valida per sabbie e ghiaie.

#### **Densità relativa (%)**

- Gibbs & Holtz (1957) correlazione valida per qualunque pressione efficace, per ghiaie  $D_r$  viene sovrastimato, per limi sottostimato.
- Skempton (1986) elaborazione valida per limi e sabbie e sabbie da fini a grossolane NC a qualunque pressione efficace, per ghiaie il valore di  $D_r$  % viene sovrastimato, per limi sottostimato.
- Meyerhof (1957).
- Schultze & Menzenbach (1961) per sabbie fini e ghiaiose NC , metodo valido per qualunque valore di pressione efficace in depositi NC, per ghiaie il valore di  $D_r$  % viene sovrastimato, per limi sottostimato.

#### **Modulo Di Young ( $E_y$ )**

- Terzaghi - elaborazione valida per sabbia pulita e sabbia con ghiaia senza considerare la pressione efficace.
- Schmertmann (1978), correlazione valida per vari tipi litologici .
- Schultze-Menzenbach , correlazione valida per vari tipi litologici.
- D'Appollonia ed altri (1970) , correlazione valida per sabbia, sabbia SC, sabbia NC e ghiaia
- Bowles (1982), correlazione valida per sabbia argillosa, sabbia limosa, limo sabbioso, sabbia media, sabbia e ghiaia.

#### **Modulo Edometrico**

- Begemann (1974) elaborazione desunta da esperienze in Grecia, correlazione valida per limo con sabbia, sabbia e ghiaia
- Buismann-Sanglerat , correlazione valida per sabbia e sabbia argillosa.
- Farrent (1963) valida per sabbie, talora anche per sabbie con ghiaia (da modifica sperimentale di dati).
- Menzenbach e Malcev valida per sabbia fine, sabbia ghiaiosa e sabbia e ghiaia.

#### **Stato di consistenza**

- Classificazione A.G.I. 1977

#### **Peso di Volume Gamma**

- Meyerhof ed altri, valida per sabbie, ghiaie, limo, limo sabbioso.

#### **Peso di volume saturo**

- Terzaghi-Peck 1948-1967

#### **Modulo di poisson**

- Classificazione A.G.I.

#### **Potenziale di liquefazione (Stress Ratio)**

- Seed-Idriss 1978-1981 . Tale correlazione è valida solamente per sabbie, ghiaie e limi sabbiosi, rappresenta il rapporto tra lo sforzo dinamico medio  $\tau$  e la tensione verticale di consolidazione per la valutazione del potenziale di liquefazione delle sabbie e terreni sabbio-ghiaiosi attraverso grafici degli autori.

**Velocità onde di taglio  $V_s$  (m/sec)**

- Tale correlazione è valida solamente per terreni incoerenti sabbiosi e ghiaiosi.

**Modulo di deformazione di taglio ( $G$ )**

- Ohsaki & Iwasaki – elaborazione valida per sabbie con fine plastico e sabbie pulite.
- Robertson e Campanella (1983) e Imai & Tonouchi (1982) elaborazione valida soprattutto per sabbie e per tensioni litostatiche comprese tra 0,5 - 4,0 kg/cmq.

**Modulo di reazione ( $K_0$ )**

- Navfac 1971-1982 - elaborazione valida per sabbie, ghiaie, limo, limo sabbioso .

**Resistenza alla punta del Penetrometro Statico ( $Q_c$ )**

- Robertson 1983  $Q_c$

## Correlazioni geotecniche terreni coesivi

**Coesione non drenata**

- Benassi & Vannelli- correlazioni scaturite da esperienze ditta costruttrice Penetrometri SUNDA 1983.
- Terzaghi-Peck (1948-1967), correlazione valida per argille sabbiose-siltose NC con  $N_{spt} < 8$  , argille limose-siltose mediamente plastiche, argille marnose alterate-fessurate.
- Terzaghi-Peck (1948).  $C_u$  min-max.
- Sanglerat , da dati Penetr. Statico per terreni coesivi saturi , tale correlazione non è valida per argille sensitive con sensitività  $> 5$  , per argille sovraconsolidate fessurate e per i limi a bassa plasticità.
- Sanglerat , (per argille limose-sabbiose poco coerenti), valori validi per resistenze penetrometriche  $< 10$  colpi, per resistenze penetrometriche  $> 10$  l'elaborazione valida è comunque quella delle "argille plastiche " di Sanglerat.
- (U.S.D.M.S.M.) U.S. Design Manual Soil Mechanics Coesione non drenata per argille limose e argille di bassa media ed alta plasticità , (Cu- $N_{spt}$ -grado di plasticità).
- Schmertmann 1975  $C_u$  (Kg/cmq) (valori medi), valida per **argille** e **limi argillosi** con  $N_c=20$  e  $Q_c/N_{spt}=2$ .
- Schmertmann 1975  $C_u$  (Kg/cmq) (valori minimi), valida per argille NC .
- Fletcher 1965 - (Argilla di Chicago) . Coesione non drenata  $C_u$  (Kg/cmq), colonna valori validi per argille a medio-bassa plasticità .
- Houston (1960) - argilla di media-alta plasticità.
- Shioi-Fukuni 1982 , valida per suoli poco coerenti e plastici, argilla di media-alta plasticità.
- Begemann.
- De Beer.

**Resistenza alla punta del Penetrometro Statico ( $Q_c$ )**

- Robertson 1983  $Q_c$

**Modulo Edometrico-Confinato ( $M_0$ )**

- Stroud e Butler (1975) - per litotipi a media plasticità, valida per litotipi argillosi a media-medio-alta plasticità - da esperienze su argille glaciali.
- Stroud e Butler (1975), per litotipi a medio-bassa plasticità ( $IP < 20$ ), valida per litotipi argillosi a medio-bassa plasticità ( $IP < 20$ ) - da esperienze su argille glaciali .
- Vesic (1970) correlazione valida per argille molli (valori minimi e massimi).
- Trofimenkov (1974), Mitchell e Gardner Modulo Confinato - $M_0$  (Ecd) (Kg/cmq)-, valida per litotipi argillosi e limosi-argillosi (rapporto  $Q_c/N_{spt}=1.5-2.0$ ).
- Buisman- Sanglerat, valida per argille compatte (  $N_{spt} < 30$ ) medie e molli (  $N_{spt} < 4$ ) e argille sabbiose ( $N_{spt}=6-12$ ).

**Modulo Di Young ( $E_y$ )**

- Schultze-Menzenbach - (Min. e Max.), correlazione valida per limi coerenti e limi argillosi con I.P.  $> 15$
- D'Appollonia ed altri (1983) - correlazione valida per argille sature-argille fessurate.

**Stato di consistenza**

- Classificazione A.G.I. 1977

**Peso di Volume**

- Meyerhof ed altri, valida per argille, argille sabbiose e limose prevalentemente coerenti.

**Peso di volume saturo**

- Meyerhof ed altri.

**Caratteristiche Tecniche-Strumentali Sonda: DPM (DL030 10) (Medium)**

Rif. Norme	DIN 4094
Peso Massa battente	30 Kg
Altezza di caduta libera	0.20 m
Peso sistema di battuta	21 Kg
Diametro punta conica	35.68 mm
Area di base punta	10 cm <sup>2</sup>
Lunghezza delle aste	1 m
Peso aste a metro	2.9 Kg/m
Profondità giunzione prima asta	0.80 m
Avanzamento punta	0.10 m
Numero colpi per punta	N(10)
Coeff. Correlazione	0.761
Rivestimento/fanghi	No
Angolo di apertura punta	60 °

**Classificazione ISSMFE (1988) delle sonde Penetrometriche dinamiche**

Tipo	Sigla di riferimento	Peso della massa battente in Kg
Leggero	DPL (Light)	M<10
<b>Medio</b>	<b>DPM (Medium)</b>	<b>10&lt;M&lt;40</b>
Pesante	DPH (Heavy)	40<M<60
Super pesante	DPSH (Super Heavy)	M>60

## Elaborazione Prova Penetrometrica DPM\_1 (P1)

Strumento utilizzato... DPM (DL030 10) (Medium)  
 Prova eseguita in data 04/11/2021  
 Profondità prova 5,60 mt  
 Falda non rilevata

Tipo elaborazione Nr. Colpi: Medio

Profondità (m)	Nr. Colpi	Nr. Colpi Rivestimento	Calcolo coeff. riduzione sonda Chi	Res. dinamica ridotta (Kg/cm <sup>2</sup> )	Res. dinamica (Kg/cm <sup>2</sup> )	Pres. ammissibile con riduzione Herminier - Olandesi (Kg/cm <sup>2</sup> )	Pres. ammissibile Herminier - Olandesi (Kg/cm <sup>2</sup> )
0,10	6	0	0,857	17,16	20,04	0,86	1,00
0,20	13	0	0,805	34,93	43,41	1,75	2,17
0,30	11	0	0,853	31,32	36,73	1,57	1,84
0,40	11	0	0,851	31,25	36,73	1,56	1,84
0,50	12	0	0,849	34,02	40,07	1,70	2,00
0,60	12	0	0,847	33,94	40,07	1,70	2,00
0,70	11	0	0,845	31,05	36,73	1,55	1,84
0,80	12	0	0,843	33,80	40,07	1,69	2,00
0,90	11	0	0,842	29,34	34,86	1,47	1,74
1,00	10	0	0,840	26,61	31,69	1,33	1,58
1,10	12	0	0,838	31,87	38,03	1,59	1,90
1,20	13	0	0,786	32,39	41,20	1,62	2,06
1,30	13	0	0,785	32,32	41,20	1,62	2,06
1,40	14	0	0,783	34,73	44,37	1,74	2,22
1,50	12	0	0,831	31,61	38,03	1,58	1,90
1,60	11	0	0,830	28,92	34,86	1,45	1,74
1,70	11	0	0,828	28,86	34,86	1,44	1,74
1,80	10	0	0,826	26,19	31,69	1,31	1,58
1,90	7	0	0,825	17,41	21,11	0,87	1,06
2,00	7	0	0,823	17,37	21,11	0,87	1,06
2,10	10	0	0,822	24,77	30,15	1,24	1,51
2,20	11	0	0,820	27,20	33,17	1,36	1,66
2,30	11	0	0,819	27,15	33,17	1,36	1,66
2,40	12	0	0,817	29,57	36,18	1,48	1,81
2,50	11	0	0,816	27,05	33,17	1,35	1,66
2,60	13	0	0,764	29,96	39,20	1,50	1,96
2,70	13	0	0,763	29,90	39,20	1,49	1,96
2,80	15	0	0,761	34,44	45,23	1,72	2,26
2,90	15	0	0,760	32,78	43,13	1,64	2,16
3,00	16	0	0,759	34,90	46,01	1,75	2,30
3,10	16	0	0,757	34,84	46,01	1,74	2,30
3,20	21	0	0,706	42,63	60,38	2,13	3,02
3,30	26	0	0,705	52,68	74,76	2,63	3,74
3,40	27	0	0,703	54,61	77,64	2,73	3,88
3,50	26	0	0,702	52,49	74,76	2,62	3,74
3,60	24	0	0,701	48,37	69,01	2,42	3,45
3,70	28	0	0,700	56,33	80,51	2,82	4,03
3,80	27	0	0,698	54,22	77,64	2,71	3,88
3,90	24	0	0,697	45,98	65,95	2,30	3,30
4,00	26	0	0,696	49,73	71,45	2,49	3,57
4,10	26	0	0,695	49,65	71,45	2,48	3,57
4,20	28	0	0,694	53,38	76,95	2,67	3,85
4,30	28	0	0,693	53,29	76,95	2,66	3,85
4,40	27	0	0,691	51,30	74,20	2,57	3,71
4,50	28	0	0,690	53,12	76,95	2,66	3,85
4,60	28	0	0,689	53,03	76,95	2,65	3,85
4,70	30	0	0,688	56,73	82,44	2,84	4,12
4,80	29	0	0,687	54,76	79,69	2,74	3,98
4,90	27	0	0,686	48,75	71,05	2,44	3,55
5,00	28	0	0,685	50,48	73,68	2,52	3,68

**Progetto definitivo impianto fotovoltaico denominato "PESCARELLA"  
nel territorio del Comune di GRAVINA IN PUGLIA (BA)**

5,10	28	0	0,684	50,40	73,68	2,52	3,68
5,20	27	0	0,683	48,53	71,05	2,43	3,55
5,30	30	0	0,682	53,84	78,95	2,69	3,95
5,40	31	0	0,631	51,48	81,58	2,57	4,08
5,50	30	0	0,680	53,69	78,95	2,68	3,95
5,60	55	0	0,579	83,82	144,74	4,19	7,24

Prof. Strato (m)	NPDM	Rd (Kg/cm <sup>2</sup> )	Tipo	Clay Fraction (%)	Peso unità di volume (t/m <sup>3</sup> )	Peso unità di volume saturo (t/m <sup>3</sup> )	Tensione efficace (Kg/cm <sup>2</sup> )	Coeff. di correlaz. con Nspt	Nspt	Descrizione
3,1	11,68	36,5	Incoerente - coesivo	0	1,93	2,12	0,3	0,76	8,89	STRATO 1
5,6	27,25	74,86	Incoerente - coesivo	0	2,1	2,11	0,86	0,76	20,74	STRATO 2

**STIMA PARAMETRI GEOTECNICI PROVA Nr.1**

**TERRENI COESIVI**

**Coesione non drenata (Kg/cm<sup>2</sup>)**

	Nspt	Prof. Strato (m)	Terzaghi -Peck	Sanglerat	Terzaghi -Peck (1948)	U.S.D.M .S.M	Schmertmann 1975	SUNDA (1983) Benassi e Vannelli	Fletcher (1965) Argilla di Chicago	Houston (1960)	Shioi - Fukui 1982	Begeman	De Beer
[1] - STRATO 1	8,89	3,10	0,60	1,11	0,50	0,36	0,87	1,10	0,79	1,11	0,45	1,16	1,11
[2] - STRATO 2	20,74	5,60	1,40	2,59	1,00	0,80	2,05	2,25	1,75	2,15	1,04	2,86	2,59

**Coesione drenata**

Descrizione	Nspt	Prof. Strato (m)	Correlazione	C' (Kg/cm <sup>2</sup> )
[1] - STRATO 1	8,89	3,10	Sorensen & Okkels (2013)	0,05
[2] - STRATO 2	20,74	5,60	Sorensen & Okkels (2013)	0,10

**Peso unità di volume**

	Nspt	Prof. Strato (m)	Correlazione	Peso unità di volume (t/m <sup>3</sup> )
[1] - STRATO 1	8,89	3,10	Meyerhof ed altri	1,93
[2] - STRATO 2	20,74	5,60	Meyerhof ed altri	2,10

**Peso unità di volume saturo**

	Nspt	Prof. Strato (m)	Correlazione	Peso unità di volume saturo (t/m <sup>3</sup> )
[1] - STRATO 1	8,89	3,10	Meyerhof ed altri	2,12
[2] - STRATO 2	20,74	5,60	Meyerhof ed altri	2,11

**TERRENI INCOERENTI**

**Densità relativa**

	Intestazione NSPTS	Prof. Strato (m)	Gibbs & Holtz 1957	Meyerhof 1957	Schultze & Menzenbach (1961)	Skempton 1986
[1] - STRATO 1	8,89	3,10	32,35	62,64	66,73	30,49
[2] - STRATO 2	20,74	5,60	41,62	76,55	75,84	52,31

**Angolo di resistenza al taglio**

	Nspt	Prof. Strato (m)	Nspt corretto per presenza falda	Peck-Hanson-Thornburn-Meyerhof 1956	Meyerhof (1956)	Sowers (1961)	Malcev (1964)	Meyerhof (1965)	Schmertmann (1977) Sabbie	Mitchell & Katti (1981)	Shioi-Fukuni 1982 (ROAD BRIDGE SPECIFICATION)	Japanese National Railway	De Mello	Owasaki & Iwasaki
[1] - STRATO 1	8,89	3,10	8,89	29,54	22,54	30,49	31,16	33,24	0	<30	26,55	29,67	36,94	28,33
[2] - STRATO 2	20,74	5,60	20,74	32,93	25,93	33,81	30,24	37,29	38,72	30-32	32,64	33,22	42,2	35,37

**Progetto definitivo impianto fotovoltaico denominato "PESCARELLA"  
nel territorio del Comune di GRAVINA IN PUGLIA (BA)**

**Modulo di Young (Kg/cm<sup>2</sup>)**

	Nspt	Prof. Strato (m)	Nspt corretto per presenza falda	Terzaghi	Schmertmann (1978) (Sabbie)	Schultze-Menzenbach (Sabbia ghiaiosa)	D'Appollonia ed altri 1970 (Sabbia)	Bowles (1982) Sabbia Media
[1] - STRATO 1	8,89	3,10	8,89	---	71,12	105,60	---	---
[2] - STRATO 2	20,74	5,60	20,74	325,07	165,92	245,43	335,55	178,70

**Modulo Edometrico (Kg/cm<sup>2</sup>)**

	Nspt	Prof. Strato (m)	Nspt corretto per presenza falda	Buisman-Sanglerat (sabbie)	Begemann 1974 (Ghiaia con sabbia)	Farrent 1963	Menzenbach e Malcev (Sabbia media)
[1] - STRATO 1	8,89	3,10	8,89	---	45,72	63,12	77,65
[2] - STRATO 2	20,74	5,60	20,74	124,44	70,07	147,25	130,50

**Classificazione AGI**

	Nspt	Prof. Strato (m)	Nspt corretto per presenza falda	Correlazione	Classificazione AGI
[1] - STRATO 1	8,89	3,10	8,89	Classificazione A.G.I. 1977	POCO ADDENSATO
[2] - STRATO 2	20,74	5,60	20,74	Classificazione A.G.I. 1977	MODERATAMENTE ADDENSATO

**Modulo di Poisson**

	Nspt	Prof. Strato (m)	Nspt corretto per presenza falda	Correlazione	Poisson
[1] - STRATO 1	8,89	3,10	8,89	(A.G.I.)	0,34
[2] - STRATO 2	20,74	5,60	20,74	(A.G.I.)	0,31

**Modulo di reazione Ko**

	Nspt	Prof. Strato (m)	Nspt corretto per presenza falda	Correlazione	Ko
[1] - STRATO 1	8,89	3,10	8,89	Navfac 1971-1982	1,86
[2] - STRATO 2	20,74	5,60	20,74	Navfac 1971-1982	4,18

**Qc ( Resistenza punta Penetrometro Statico)**

	Nspt	Prof. Strato (m)	Nspt corretto per presenza falda	Correlazione	Qc (Kg/cm <sup>2</sup> )
[1] - STRATO 1	8,89	3,10	8,89	Robertson 1983	17,78
[2] - STRATO 2	20,74	5,60	20,74	Robertson 1983	41,48

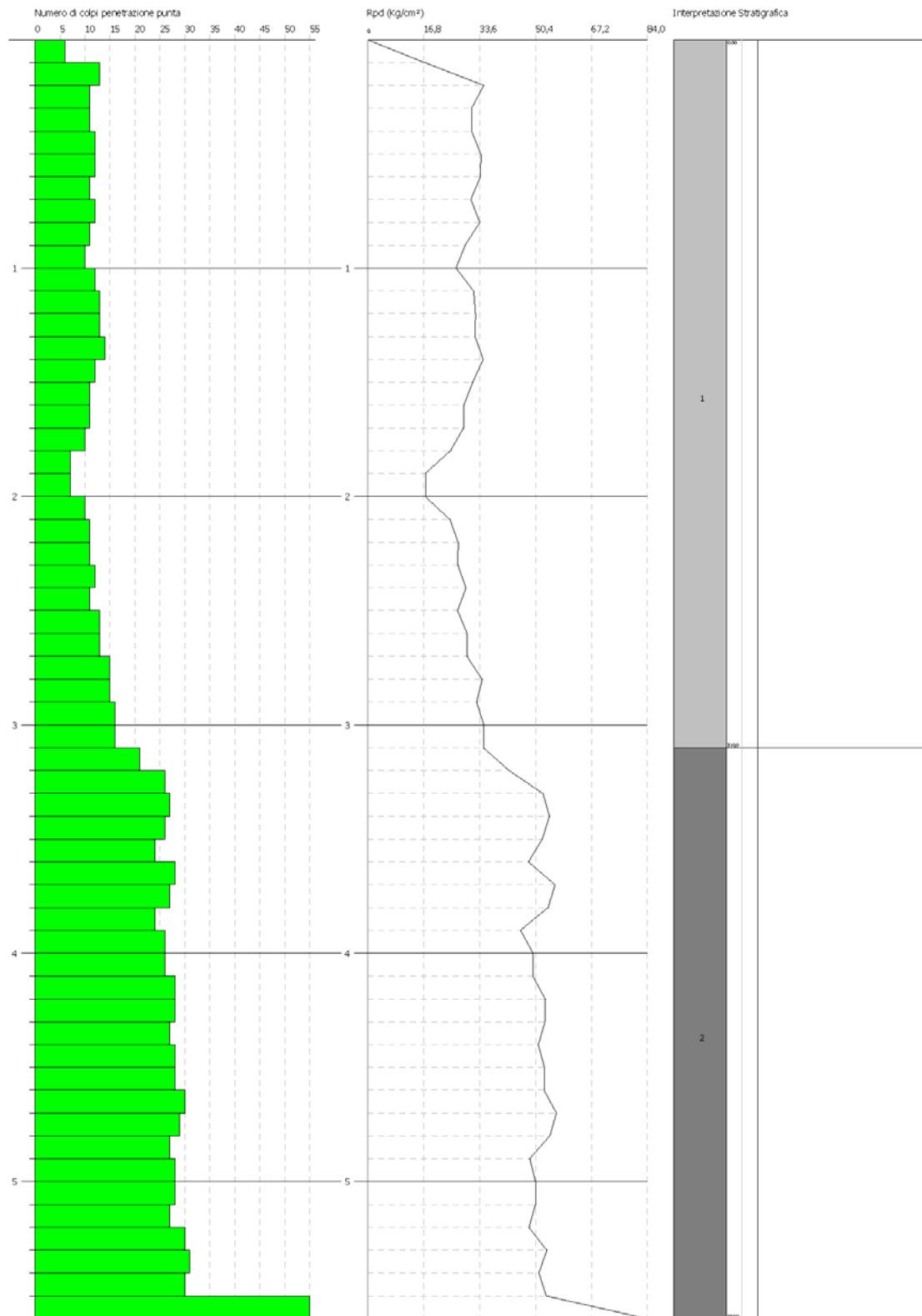
Progetto definitivo impianto fotovoltaico denominato "PESCARELLA"  
nel territorio del Comune di GRAVINA IN PUGLIA (BA)

PROVA PENETROMETRICA DINAMICA N.1  
Strumento utilizzato... DPM (DL030 10) (Medium)

Committente: New Developments  
Cantiere: Parco fotovoltaico PESCARELLA  
Località: GRAVINA DI PUGLIA (BA)

Data: 04/11/2021

Scala 1:23



## Elaborazione Prova Penetrometrica DPM\_2 (P2)

Strumento utilizzato... DPM (DL030 10) (Medium)  
 Prova eseguita in data 04/11/2021  
 Profondità prova 4,90 mt  
 Falda non rilevata

Tipo elaborazione Nr. Colpi: Medio

Profondità (m)	Nr. Colpi	Nr. Colpi Rivestimento	Calcolo coeff. riduzione sonda Chi	Res. dinamica ridotta (Kg/cm <sup>2</sup> )	Res. dinamica (Kg/cm <sup>2</sup> )	Pres. ammissibile con riduzione Herminier - Olandesi (Kg/cm <sup>2</sup> )	Pres. ammissibile Herminier - Olandesi (Kg/cm <sup>2</sup> )
0,10	4	0	0,857	11,44	13,36	0,57	0,67
0,20	11	0	0,855	31,39	36,73	1,57	1,84
0,30	9	0	0,853	25,63	30,06	1,28	1,50
0,40	9	0	0,851	25,57	30,06	1,28	1,50
0,50	10	0	0,849	28,35	33,40	1,42	1,67
0,60	13	0	0,797	34,60	43,41	1,73	2,17
0,70	12	0	0,845	33,87	40,07	1,69	2,00
0,80	11	0	0,843	30,98	36,73	1,55	1,84
0,90	13	0	0,792	32,61	41,20	1,63	2,06
1,00	11	0	0,840	29,27	34,86	1,46	1,74
1,10	10	0	0,838	26,56	31,69	1,33	1,58
1,20	8	0	0,836	21,20	25,35	1,06	1,27
1,30	8	0	0,835	21,16	25,35	1,06	1,27
1,40	12	0	0,833	31,67	38,03	1,58	1,90
1,50	11	0	0,831	28,97	34,86	1,45	1,74
1,60	12	0	0,830	31,55	38,03	1,58	1,90
1,70	11	0	0,828	28,86	34,86	1,44	1,74
1,80	10	0	0,826	26,19	31,69	1,31	1,58
1,90	12	0	0,825	29,84	36,18	1,49	1,81
2,00	13	0	0,773	30,31	39,20	1,52	1,96
2,10	14	0	0,772	32,57	42,21	1,63	2,11
2,20	15	0	0,770	34,83	45,23	1,74	2,26
2,30	15	0	0,769	34,76	45,23	1,74	2,26
2,40	15	0	0,767	34,69	45,23	1,73	2,26
2,50	15	0	0,766	34,63	45,23	1,73	2,26
2,60	21	0	0,714	45,22	63,32	2,26	3,17
2,70	21	0	0,713	45,13	63,32	2,26	3,17
2,80	22	0	0,711	47,19	66,33	2,36	3,32
2,90	23	0	0,710	46,96	66,13	2,35	3,31
3,00	23	0	0,709	46,87	66,13	2,34	3,31
3,10	23	0	0,707	46,78	66,13	2,34	3,31
3,20	22	0	0,706	44,66	63,26	2,23	3,16
3,30	24	0	0,705	48,63	69,01	2,43	3,45
3,40	25	0	0,703	50,56	71,88	2,53	3,59
3,50	23	0	0,702	46,43	66,13	2,32	3,31
3,60	23	0	0,701	46,35	66,13	2,32	3,31
3,70	28	0	0,700	56,33	80,51	2,82	4,03
3,80	24	0	0,698	48,20	69,01	2,41	3,45
3,90	24	0	0,697	45,98	65,95	2,30	3,30
4,00	28	0	0,696	53,56	76,95	2,68	3,85
4,10	26	0	0,695	49,65	71,45	2,48	3,57
4,20	26	0	0,694	49,56	71,45	2,48	3,57
4,30	28	0	0,693	53,29	76,95	2,66	3,85
4,40	30	0	0,691	57,00	82,44	2,85	4,12
4,50	32	0	0,640	56,31	87,94	2,82	4,40
4,60	33	0	0,639	57,97	90,69	2,90	4,53
4,70	33	0	0,638	57,87	90,69	2,89	4,53
4,80	44	0	0,587	70,99	120,92	3,55	6,05
4,90	56	0	0,586	86,37	147,37	4,32	7,37

Prof. Strato (m)	NPDM	Rd (Kg/cm <sup>2</sup> )	Tipo	Clay Fraction (%)	Peso unità di volume (t/m <sup>3</sup> )	Peso unità di volume saturo (t/m <sup>3</sup> )	Tensione efficace (Kg/cm <sup>2</sup> )	Coeff. di correlaz. con Nspt	Nspt	Descrizione
2,5	11,36	35,93	Incoerente - coesivo	0	1,92	2,11	0,24	0,76	8,64	STRATO 1
4,9	25,55	72,36	Incoerente - coesivo	0	2,1	2,31	0,73	0,76	19,44	STRATO 2

**STIMA PARAMETRI GEOTECNICI PROVA Nr.2**

**TERRENI COESIVI**

**Coesione non drenata (Kg/cm<sup>2</sup>)**

	Nspt	Prof. Strato (m)	Terzaghi -Peck	Sanglerat	Terzaghi -Peck (1948)	U.S.D.M .S.M	Schmertmann 1975	SUNDA (1983) Benassi e Vannelli	Fletcher (1965) Argilla di Chicago	Houston (1960)	Shioi - Fukui 1982	Begeman n	De Beer
[1] - STRATO 1	8,64	2,50	0,58	1,08	0,50	0,35	0,85	1,08	0,77	1,09	0,43	1,20	1,08
[2] - STRATO 2	19,44	4,90	1,31	2,43	1,00	0,76	1,92	2,17	1,65	2,03	0,97	2,74	2,43

**Coesione drenata**

Descrizione	Nspt	Prof. Strato (m)	Correlazione	C' (Kg/cm <sup>2</sup> )
[1] - STRATO 1	8,64	2,50	Sorensen & Okkels (2013)	0,04
[2] - STRATO 2	19,44	4,90	Sorensen & Okkels (2013)	0,10

**Peso unità di volume**

	Nspt	Prof. Strato (m)	Correlazione	Peso unità di volume (t/m <sup>3</sup> )
[1] - STRATO 1	8,64	2,50	Meyerhof ed altri	1,92
[2] - STRATO 2	19,44	4,90	Meyerhof ed altri	2,10

**Peso unità di volume saturo**

	Nspt	Prof. Strato (m)	Correlazione	Peso unità di volume saturo (t/m <sup>3</sup> )
[1] - STRATO 1	8,64	2,50	Meyerhof ed altri	2,11
[2] - STRATO 2	19,44	4,90	Meyerhof ed altri	2,31

**TERRENI INCOERENTI**

**Densità relativa**

	Intestazione NSPT\$	Prof. Strato (m)	Gibbs & Holtz 1957	Meyerhof 1957	Schultze & Menzenbach (1961)	Skempton 1986
[1] - STRATO 1	8,64	2,50	32,89	63,67	69,73	29,91
[2] - STRATO 2	19,44	4,90	42,02	77,37	76,72	50,39

**Angolo di resistenza al taglio**

	Nspt	Prof. Strato (m)	Nspt corretto per presenza falda	Peck-Hanson-Thornburn-Meyerhof 1956	Meyerhof (1956)	Sowers (1961)	Malcev (1964)	Meyerhof (1965)	Schmertmann (1977) Sabbie	Mitchell & Katti (1981)	Shioi-Fukuni 1982 (ROAD BRIDGE SPECIFICATION)	Japane e National Railway	De Mello	Owasaki & Iwasaki
[1] - STRATO 1	8,64	2,50	8,64	29,47	22,47	30,42	31,59	33,15	0	<30	26,38	29,59	36,91	28,15
[2] - STRATO 2	19,44	4,90	19,44	32,55	25,55	33,44	30,48	36,9	38,83	30-32	32,08	32,83	42,12	34,72

**Modulo di Young (Kg/cm<sup>2</sup>)**

	Nspt	Prof. Strato (m)	Nspt corretto per presenza falda	Terzaghi	Schmertmann (1978) (Sabbie)	Schultze-Menzenbach (Sabbia ghiaiosa)	D'Appollonia ed altri 1970 (Sabbia)	Bowles (1982) Sabbia Media
[1] - STRATO 1	8,64	2,50	8,64	---	69,12	102,65	---	---
[2] - STRATO 2	19,44	4,90	19,44	314,72	155,52	230,09	325,80	172,20

**Modulo Edometrico (Kg/cm<sup>2</sup>)**

	Nspt	Prof. Strato (m)	Nspt corretto per presenza falda	Buisman-Sanglerat (sabbie)	Begemann 1974 (Ghiaia con sabbia)	Farrent 1963	Menzenbach e Malcev (Sabbia media)
[1] - STRATO 1	8,64	2,50	8,64	---	45,21	61,34	76,53
[2] - STRATO 2	19,44	4,90	19,44	116,64	67,39	138,02	124,70

**Progetto definitivo impianto fotovoltaico denominato "PESCARELLA"  
nel territorio del Comune di GRAVINA IN PUGLIA (BA)**

**Classificazione AGI**

	Nspt	Prof. Strato (m)	Nspt corretto per presenza falda	Correlazione	Classificazione AGI
[1] - STRATO 1	8,64	2,50	8,64	Classificazione A.G.I. 1977	POCO ADDENSATO
[2] - STRATO 2	19,44	4,90	19,44	Classificazione A.G.I. 1977	MODERATAMENTE ADDENSATO

**Modulo di Poisson**

	Nspt	Prof. Strato (m)	Nspt corretto per presenza falda	Correlazione	Poisson
[1] - STRATO 1	8,64	2,50	8,64	(A.G.I.)	0,34
[2] - STRATO 2	19,44	4,90	19,44	(A.G.I.)	0,32

**Modulo di reazione Ko**

	Nspt	Prof. Strato (m)	Nspt corretto per presenza falda	Correlazione	Ko
[1] - STRATO 1	8,64	2,50	8,64	Navfac 1971-1982	1,81
[2] - STRATO 2	19,44	4,90	19,44	Navfac 1971-1982	3,95

**Qc ( Resistenza punta Penetrometro Statico)**

	Nspt	Prof. Strato (m)	Nspt corretto per presenza falda	Correlazione	Qc (Kg/cm <sup>2</sup> )
[1] - STRATO 1	8,64	2,50	8,64	Robertson 1983	17,28
[2] - STRATO 2	19,44	4,90	19,44	Robertson 1983	38,88

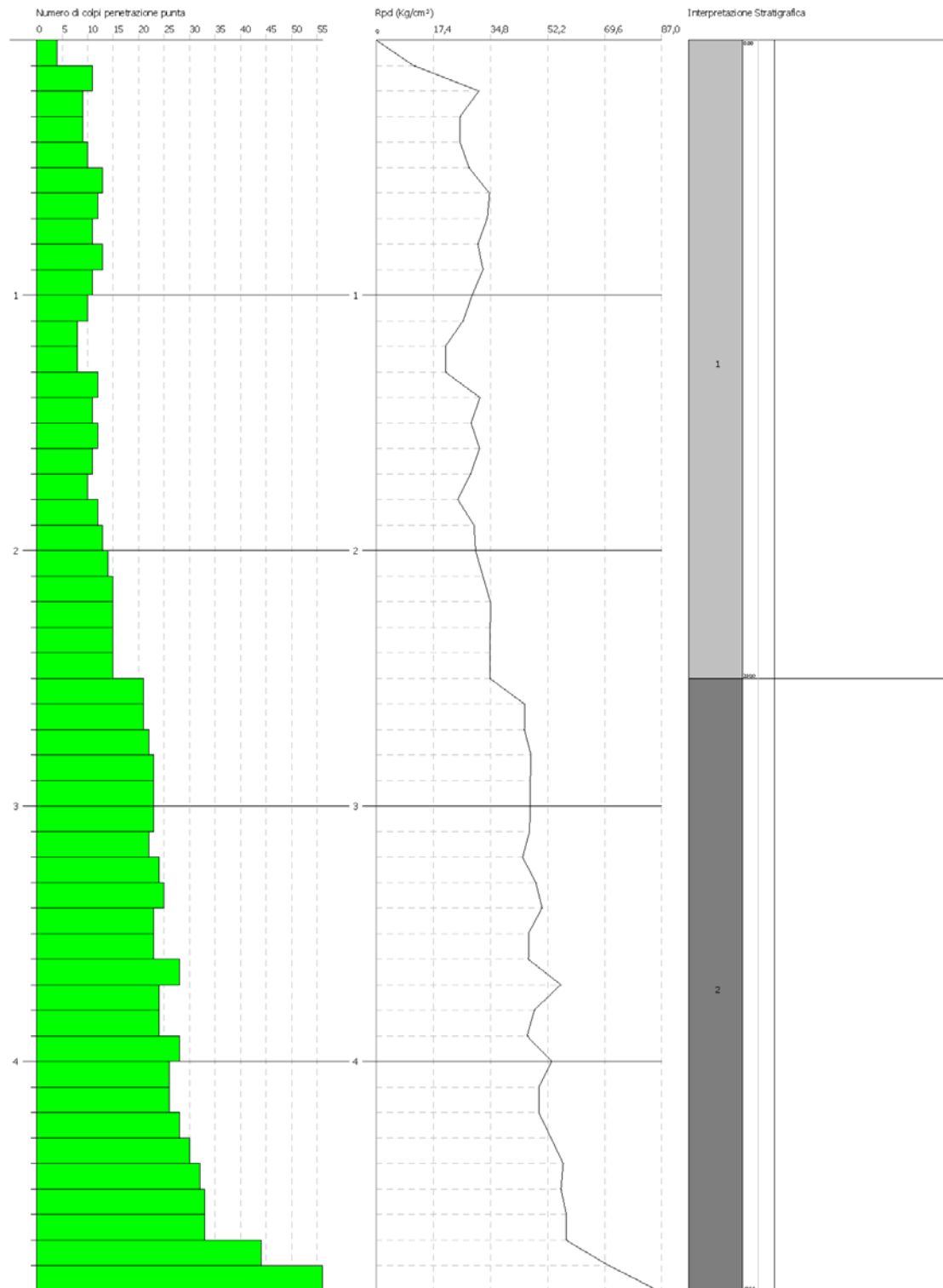
**Progetto definitivo impianto fotovoltaico denominato "PESCARELLA"  
nel territorio del Comune di GRAVINA IN PUGLIA (BA)**

PROVA PENETROMETRICA DINAMICA N.2  
Strumento utilizzato... DPM (DL030 10) (Medium)

Committente: New Developments  
Carifore: Parco fotovoltaico PESCARELLA  
Località: GRAVINADI PUGLIA (BA)

Data: 04/11/2021

Scala 1:21



## Elaborazione Prova Penetrometrica DPM\_3 (Pse)

Strumento utilizzato... DPM (DL030 10) (Medium)  
 Prova eseguita in data 04/11/2021  
 Profondità prova 5,30 mt  
 Falda non rilevata

Tipo elaborazione Nr. Colpi: Medio

Profondità (m)	Nr. Colpi	Nr. Colpi Rivestimento	Calcolo coeff. riduzione sonda Chi	Res. dinamica ridotta (Kg/cm <sup>2</sup> )	Res. dinamica (Kg/cm <sup>2</sup> )	Pres. ammissibile con riduzione Herminier - Olandesi (Kg/cm <sup>2</sup> )	Pres. ammissibile Herminier - Olandesi (Kg/cm <sup>2</sup> )
0,10	1	0	0,857	2,86	3,34	0,14	0,17
0,20	3	0	0,855	8,56	10,02	0,43	0,50
0,30	12	0	0,853	34,17	40,07	1,71	2,00
0,40	11	0	0,851	31,25	36,73	1,56	1,84
0,50	10	0	0,849	28,35	33,40	1,42	1,67
0,60	11	0	0,847	31,11	36,73	1,56	1,84
0,70	11	0	0,845	31,05	36,73	1,55	1,84
0,80	13	0	0,793	34,44	43,41	1,72	2,17
0,90	12	0	0,842	32,00	38,03	1,60	1,90
1,00	12	0	0,840	31,93	38,03	1,60	1,90
1,10	12	0	0,838	31,87	38,03	1,59	1,90
1,20	13	0	0,786	32,39	41,20	1,62	2,06
1,30	15	0	0,785	37,29	47,54	1,86	2,38
1,40	13	0	0,783	32,25	41,20	1,61	2,06
1,50	10	0	0,831	26,34	31,69	1,32	1,58
1,60	11	0	0,830	28,92	34,86	1,45	1,74
1,70	13	0	0,778	32,05	41,20	1,60	2,06
1,80	12	0	0,826	31,42	38,03	1,57	1,90
1,90	13	0	0,775	30,37	39,20	1,52	1,96
2,00	13	0	0,773	30,31	39,20	1,52	1,96
2,10	22	0	0,722	47,87	66,33	2,39	3,32
2,20	24	0	0,720	52,11	72,36	2,61	3,62
2,30	22	0	0,719	47,67	66,33	2,38	3,32
2,40	26	0	0,717	56,22	78,39	2,81	3,92
2,50	25	0	0,716	53,95	75,38	2,70	3,77
2,60	25	0	0,714	53,84	75,38	2,69	3,77
2,70	26	0	0,713	55,88	78,39	2,79	3,92
2,80	28	0	0,711	60,06	84,42	3,00	4,22
2,90	28	0	0,710	57,17	80,51	2,86	4,03
3,00	25	0	0,709	50,94	71,88	2,55	3,59
3,10	26	0	0,707	52,88	74,76	2,64	3,74
3,20	27	0	0,706	54,81	77,64	2,74	3,88
3,30	27	0	0,705	54,71	77,64	2,74	3,88
3,40	27	0	0,703	54,61	77,64	2,73	3,88
3,50	22	0	0,702	44,42	63,26	2,22	3,16
3,60	26	0	0,701	52,40	74,76	2,62	3,74
3,70	25	0	0,700	50,29	71,88	2,51	3,59
3,80	25	0	0,698	50,21	71,88	2,51	3,59
3,90	26	0	0,697	49,82	71,45	2,49	3,57
4,00	27	0	0,696	51,64	74,20	2,58	3,71
4,10	25	0	0,695	47,74	68,70	2,39	3,44
4,20	25	0	0,694	47,66	68,70	2,38	3,44
4,30	28	0	0,693	53,29	76,95	2,66	3,85
4,40	29	0	0,691	55,10	79,69	2,76	3,98
4,50	30	0	0,690	56,91	82,44	2,85	4,12
4,60	27	0	0,689	51,14	74,20	2,56	3,71
4,70	27	0	0,688	51,06	74,20	2,55	3,71
4,80	28	0	0,687	52,87	76,95	2,64	3,85
4,90	27	0	0,686	48,75	71,05	2,44	3,55
5,00	33	0	0,635	55,15	86,84	2,76	4,34

**Progetto definitivo impianto fotovoltaico denominato "PESCARELLA"  
nel territorio del Comune di GRAVINA IN PUGLIA (BA)**

5,10	36	0	0,634	60,06	94,74	3,00	4,74
5,20	49	0	0,583	75,18	128,95	3,76	6,45
5,30	57	0	0,582	87,30	150,00	4,37	7,50

Prof. Strato (m)	NPDM	Rd (Kg/cm <sup>2</sup> )	Tipo	Clay Fraction (%)	Peso unità di volume (t/m <sup>3</sup> )	Peso unità di volume saturo (t/m <sup>3</sup> )	Tensione efficace (Kg/cm <sup>2</sup> )	Coeff. di correlaz. con Nspt	Nspt	Descrizione
2	11,05	35,43	Incoerente - coesivo	0	1,92	2,11	0,19	0,76	8,41	STRATO 1
5,3	26,27	74,81	Incoerente - coesivo	0	2,1	2,31	0,73	0,76	19,99	STRATO 2

**STIMA PARAMETRI GEOTECNICI PROVA Pse**

**TERRENI COESIVI**

**Coesione non drenata (Kg/cm<sup>2</sup>)**

	Nspt	Prof. Strato (m)	Terzaghi -Peck	Sanglerat	Terzaghi -Peck (1948)	U.S.D.M .S.M	Schmert mann 1975	SUNDA (1983) Benassi e Vannelli	Fletcher (1965) Argilla di Chicago	Houston (1960)	Shioi - Fukui 1982	Begeman n	De Beer
[1] - STRATO 1	8,41	2,00	0,57	1,05	0,50	0,34	0,82	1,06	0,75	1,07	0,42	1,23	1,05
[2] - STRATO 2	19,99	5,30	1,35	2,50	1,00	0,78	1,98	2,24	1,70	2,08	1,00	2,78	2,50

**Coesione drenata**

Descrizione	Nspt	Prof. Strato (m)	Correlazione	C' (Kg/cm <sup>2</sup> )
[1] - STRATO 1	8,41	2,00	Sorensen & Okkels (2013)	0.04
[2] - STRATO 2	19,99	5,30	Sorensen & Okkels (2013)	0.10

**Peso unità di volume**

	Nspt	Prof. Strato (m)	Correlazione	Peso unità di volume (t/m <sup>3</sup> )
[1] - STRATO 1	8,41	2,00	Meyerhof ed altri	1,92
[2] - STRATO 2	19,99	5,30	Meyerhof ed altri	2,10

**Peso unità di volume saturo**

	Nspt	Prof. Strato (m)	Correlazione	Peso unità di volume saturo (t/m <sup>3</sup> )
[1] - STRATO 1	8,41	2,00	Meyerhof ed altri	2,11
[2] - STRATO 2	19,99	5,30	Meyerhof ed altri	2,31

**TERRENI INCOERENTI**

**Densità relativa**

	Intestazione NSPTS	Prof. Strato (m)	Gibbs & Holtz 1957	Meyerhof 1957	Schultze & Menzenbach (1961)	Skempton 1986
[1] - STRATO 1	8,41	2,00	33,29	64,48	72,98	29,37
[2] - STRATO 2	19,99	5,30	42,68	78,5	77,79	51,22

**Angolo di resistenza al taglio**

	Nspt	Prof. Strato (m)	Nspt corretto per presenza falda	Peck-Hanson-Thornburn-Meyerhof 1956	Meyerhof (1956)	Sowers (1961)	Malcev (1964)	Meyerhof (1965)	Schmertmann (1977) Sabbie	Mitchell & Katti (1981)	Shioi-Fukuni 1982 (ROAD BRIDGE SPECIFICATION)	Japanese National Railway	De Mello	Owasaki & Iwasaki
[1] - STRATO 1	8,41	2,00	8,41	29,4	22,4	30,35	32,03	33,06	0	<30	26,23	29,52	36,86	27,97
[2] - STRATO 2	19,99	5,30	19,99	32,71	25,71	33,6	30,53	37,07	38,99	30-32	32,32	33	42,37	34,99

**Progetto definitivo impianto fotovoltaico denominato "PESCARELLA"  
nel territorio del Comune di GRAVINA IN PUGLIA (BA)**

**Modulo di Young (Kg/cm<sup>2</sup>)**

	Nspt	Prof. Strato (m)	Nspt corretto per presenza falda	Terzaghi	Schmertmann (1978) (Sabbie)	Schultze-Menzenbach (Sabbia ghiaiosa)	D'Appollonia ed altri 1970 (Sabbia)	Bowles (1982) Sabbia Media
[1] - STRATO 1	8,41	2,00	8,41	---	67,28	99,94	---	---
[2] - STRATO 2	19,99	5,30	19,99	319,14	159,92	236,58	329,92	174,95

**Modulo Edometrico (Kg/cm<sup>2</sup>)**

	Nspt	Prof. Strato (m)	Nspt corretto per presenza falda	Buisman-Sanglerat (sabbie)	Begemann 1974 (Ghiaia con sabbia)	Farrent 1963	Menzenbach e Malcev (Sabbia media)
[1] - STRATO 1	8,41	2,00	8,41	---	44,74	59,71	75,51
[2] - STRATO 2	19,99	5,30	19,99	119,94	68,52	141,93	127,16

**Classificazione AGI**

	Nspt	Prof. Strato (m)	Nspt corretto per presenza falda	Correlazione	Classificazione AGI
[1] - STRATO 1	8,41	2,00	8,41	Classificazione A.G.I. 1977	POCO ADDENSATO
[2] - STRATO 2	19,99	5,30	19,99	Classificazione A.G.I. 1977	MODERATAMENTE ADDENSATO

**Modulo di Poisson**

	Nspt	Prof. Strato (m)	Nspt corretto per presenza falda	Correlazione	Poisson
[1] - STRATO 1	8,41	2,00	8,41	(A.G.I.)	0,34
[2] - STRATO 2	19,99	5,30	19,99	(A.G.I.)	0,31

**Modulo di reazione Ko**

	Nspt	Prof. Strato (m)	Nspt corretto per presenza falda	Correlazione	Ko
[1] - STRATO 1	8,41	2,00	8,41	Navfac 1971-1982	1,76
[2] - STRATO 2	19,99	5,30	19,99	Navfac 1971-1982	4,05

**Qc ( Resistenza punta Penetrometro Statico)**

	Nspt	Prof. Strato (m)	Nspt corretto per presenza falda	Correlazione	Qc (Kg/cm <sup>2</sup> )
[1] - STRATO 1	8,41	2,00	8,41	Robertson 1983	16,82
[2] - STRATO 2	19,99	5,30	19,99	Robertson 1983	39,98

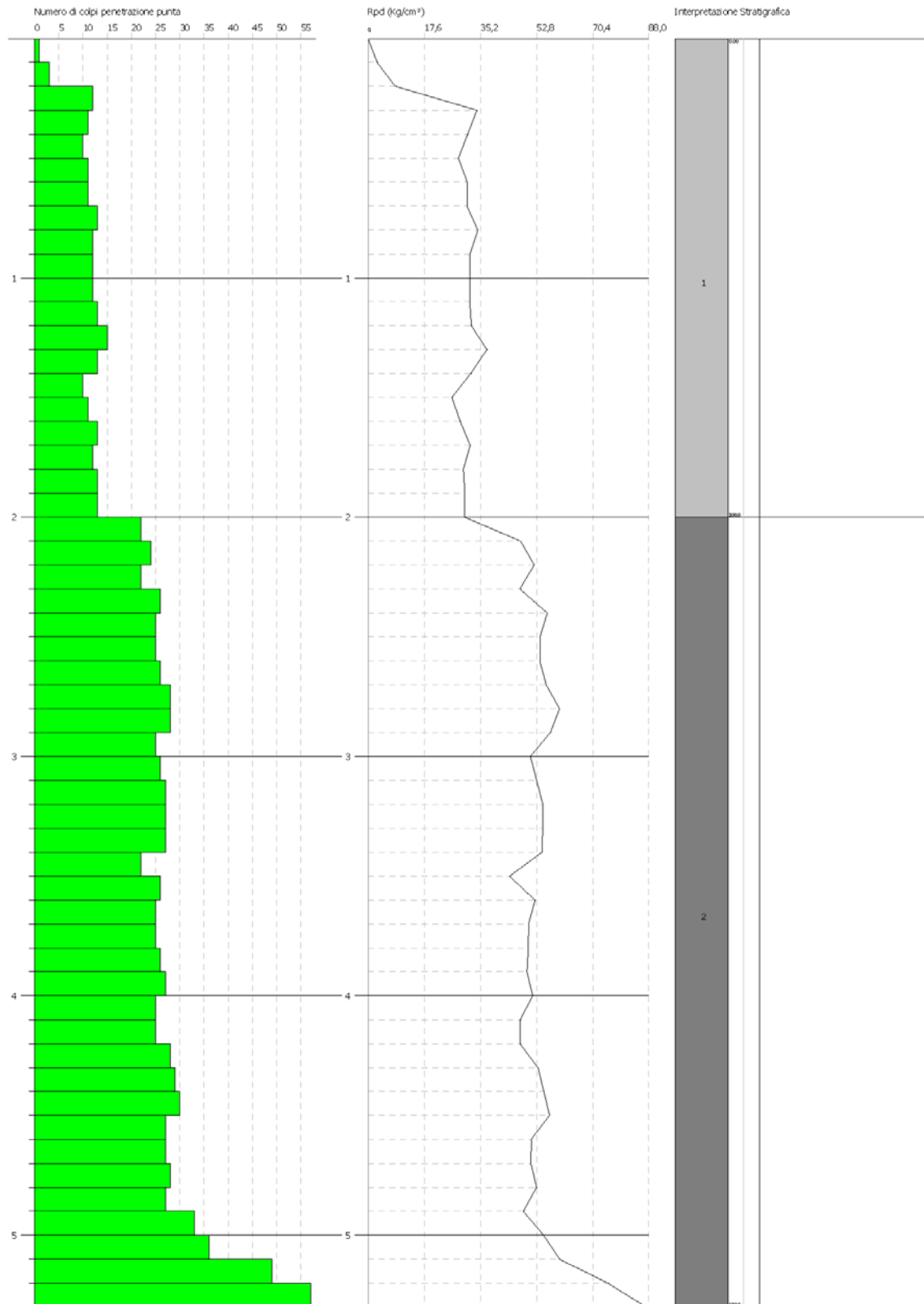
**Progetto definitivo impianto fotovoltaico denominato "PESCARELLA"  
nel territorio del Comune di GRAVINA IN PUGLIA (BA)**

PROVA PENETROMETRICA DINAMICA Pse  
Strumento utilizzato... DFM (DL030 10) (Medium)

Committente: New Developments  
Cantiere: Parco fotovoltaico SOTTOSTAZIONE ELETTRICA  
Località: GRAVINA DI PUGLIA (BA)

Data: 04/11/2021

Scala 1:22



## Descrizione indagine geofisica MASW

La geofisica osserva il comportamento delle onde che si propagano all'interno dei materiali. Un segnale sismico, infatti, si modifica in funzione delle caratteristiche del mezzo che attraversa. Le onde possono essere generate in modo artificiale attraverso l'uso di masse battenti, di scoppi, etc.

### Moto del segnale sismico

Il segnale sismico può essere scomposto in più fasi ognuna delle quali identifica il movimento delle particelle investite dalle onde sismiche. Le fasi possono essere:

- **P-Longitudinale:** onda profonda di compressione;
- **S-Trasversale:** onda profonda di taglio;
- **L-Love:** onda di superficie, composta da onde P e S;
- **R-Rayleigh:** onda di superficie composta da un movimento ellittico e retrogrado.

### Onde di Rayleigh – "R"

In passato gli studi sulla diffusione delle onde sismiche si sono concentrati sulla propagazione delle onde profonde (P,S) considerando le onde di superficie come un disturbo del segnale sismico da analizzare. Recenti studi hanno consentito di creare dei modelli matematici avanzati per l'analisi delle onde di superficie in mezzi a differente rigidità.

### Analisi del segnale con tecnica MASW

Secondo l'ipotesi fondamentale della fisica lineare (Teorema di Fourier) i segnali possono essere rappresentati come la somma di segnali indipendenti, dette armoniche del segnale. Tali armoniche, per analisi monodimensionali, sono funzioni trigonometriche seno e coseno, e si comportano in modo indipendente non interagendo tra di loro. Concentrando l'attenzione su ciascuna componente armonica il risultato finale in analisi lineare risulterà equivalente alla somma dei comportamenti parziali corrispondenti alle singole armoniche. L'analisi di Fourier (analisi spettrale FFT) è lo strumento fondamentale per la caratterizzazione spettrale del segnale. L'analisi delle onde di Rayleigh, mediante tecnica MASW, viene eseguita con la trattazione spettrale del segnale nel dominio trasformato dove è possibile, in modo abbastanza agevole, identificare il segnale relativo alle onde di Rayleigh rispetto ad altri tipi di segnali, osservando, inoltre, che le onde di Rayleigh si propagano con velocità che è funzione della frequenza. Il legame velocità frequenza è detto spettro di dispersione. La curva di dispersione individuata nel dominio f-k è detta curva di dispersione sperimentale, e rappresenta in tale dominio le massime ampiezze dello spettro.

### Modellizzazione

E' possibile simulare, a partire da un modello geotecnico sintetico caratterizzato da spessore, densità, coefficiente di Poisson, velocità delle onde S e velocità delle Onde P, la curva di dispersione teorica la quale lega velocità e lunghezza d'onda secondo la relazione:

$$v = \lambda \times \nu$$

Modificando i parametri del modello geotecnico sintetico, si può ottenere una sovrapposizione della curva di dispersione teorica con quella sperimentale: questa fase è detta di inversione e consente di determinare il profilo delle velocità in mezzi a differente rigidità.

### Modi di vibrazione

Sia nella curva di inversione teorica che in quella sperimentale è possibile individuare le diverse configurazioni di vibrazione del terreno. I modi per le onde di Rayleigh possono essere: deformazioni a contatto con l'aria, deformazioni quasi nulle a metà della lunghezza d'onda e deformazioni nulle a profondità elevate.

### **Profondità di indagine**

Le onde di Rayleigh decadono a profondità circa uguali alla lunghezza d'onda. Piccole lunghezze d'onda (alte frequenze) consentono di indagare zone superficiali mentre grandi lunghezze d'onda (basse frequenze) consentono indagini a maggiore profondità.

### **Caratteristiche delle apparecchiature**

Per l'esecuzione dell'indagine di sismica, è stato impiegato il seguente sistema di acquisizione:

- Sismografo multicanale Doremi-Sara a 16 bit, rete differenziale RS232 half-duplex multipoint;
- Cavo modulare con 12 canali, 12 geofoni verticali da 4,5Hz, geofono start geospace da 10 Hz;
- Energizzatore costituito da massa battente di 6 Kg e da piastra in polimero;
- Prolunghe e materiale d'uso;
- Misure eseguite da un Geologo "Prospettore Geofisico", coadiuvato da un "Aiuto Prospettore";
- Durante i rilievi si è provveduto a controllare costantemente la qualità dei dati.

L'interpretazione dei dati è stata effettuata analiticamente e con calcolo automatico mediante software Easy MASW distribuito della Geostru Software, attraverso una procedura così descritta:

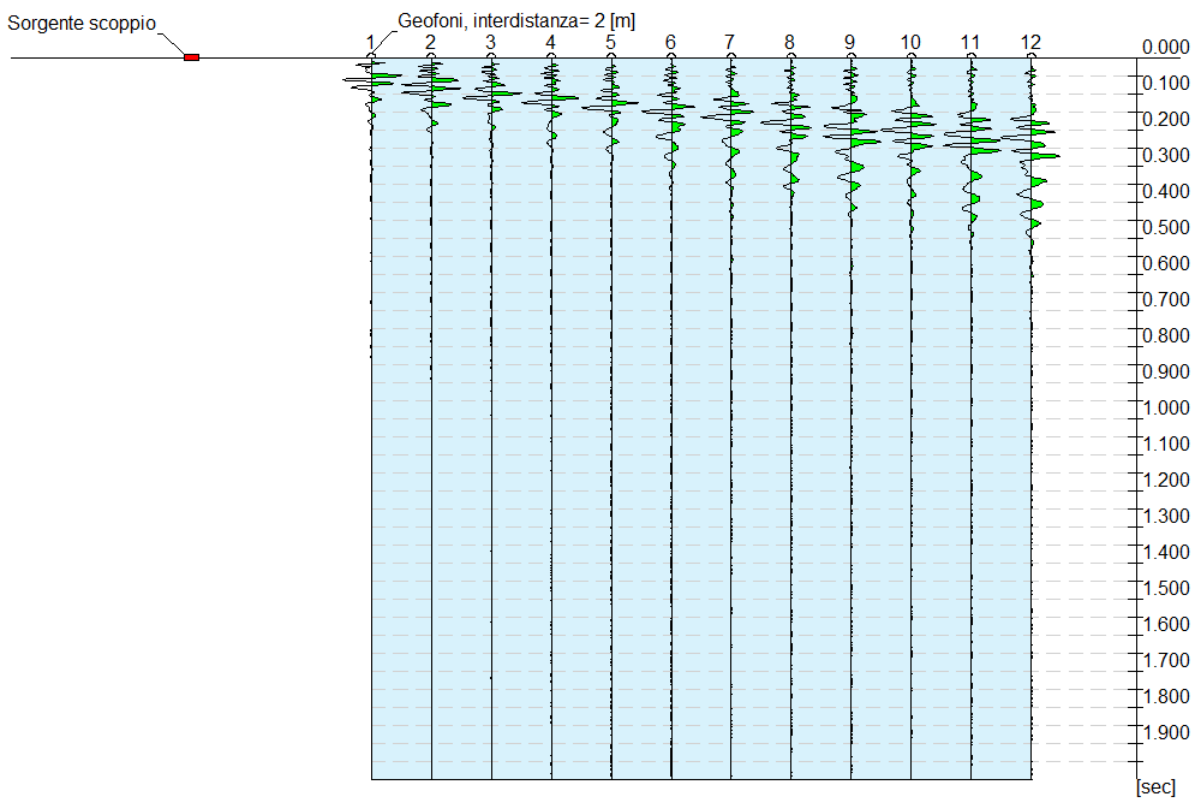
- ✓ Importazione delle tracce
- ✓ Analisi spettrale
- ✓ Inversione e sviluppo del profilo sismo-stratigrafico
- ✓ Calcolo  $V_{S_{eq}}$  e categoria del sottosuolo

## Elaborazione Indagine MASW\_1 (M1)

### Dati generali

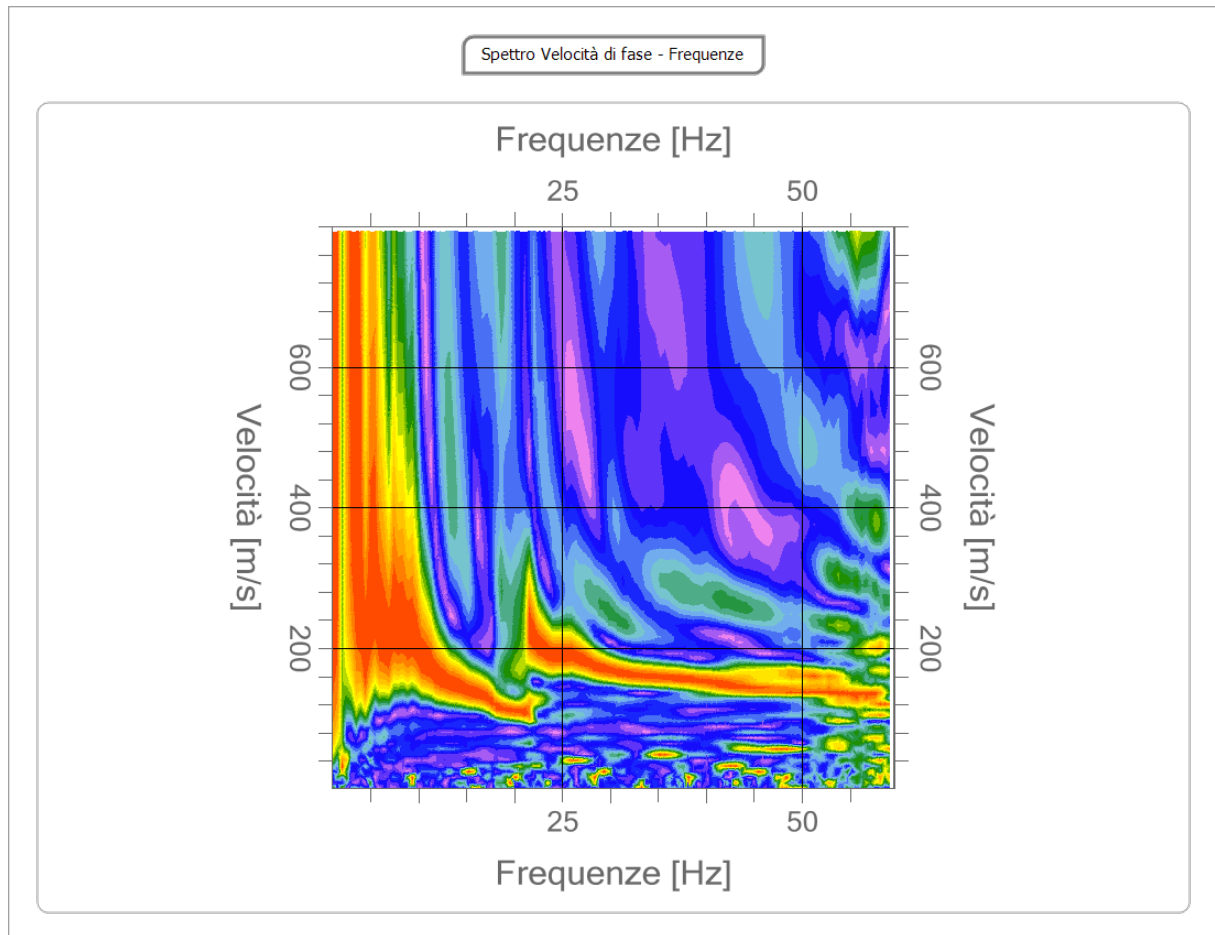
Profilo sismico MASW	
N° canali di registrazione	12
Distanza intergeofonica	2 m
Numero di scoppi	1
Durata	2000 msec
Campionamento	2 msec
Sistema di energizzazione	Massa battente

### Interpretazione



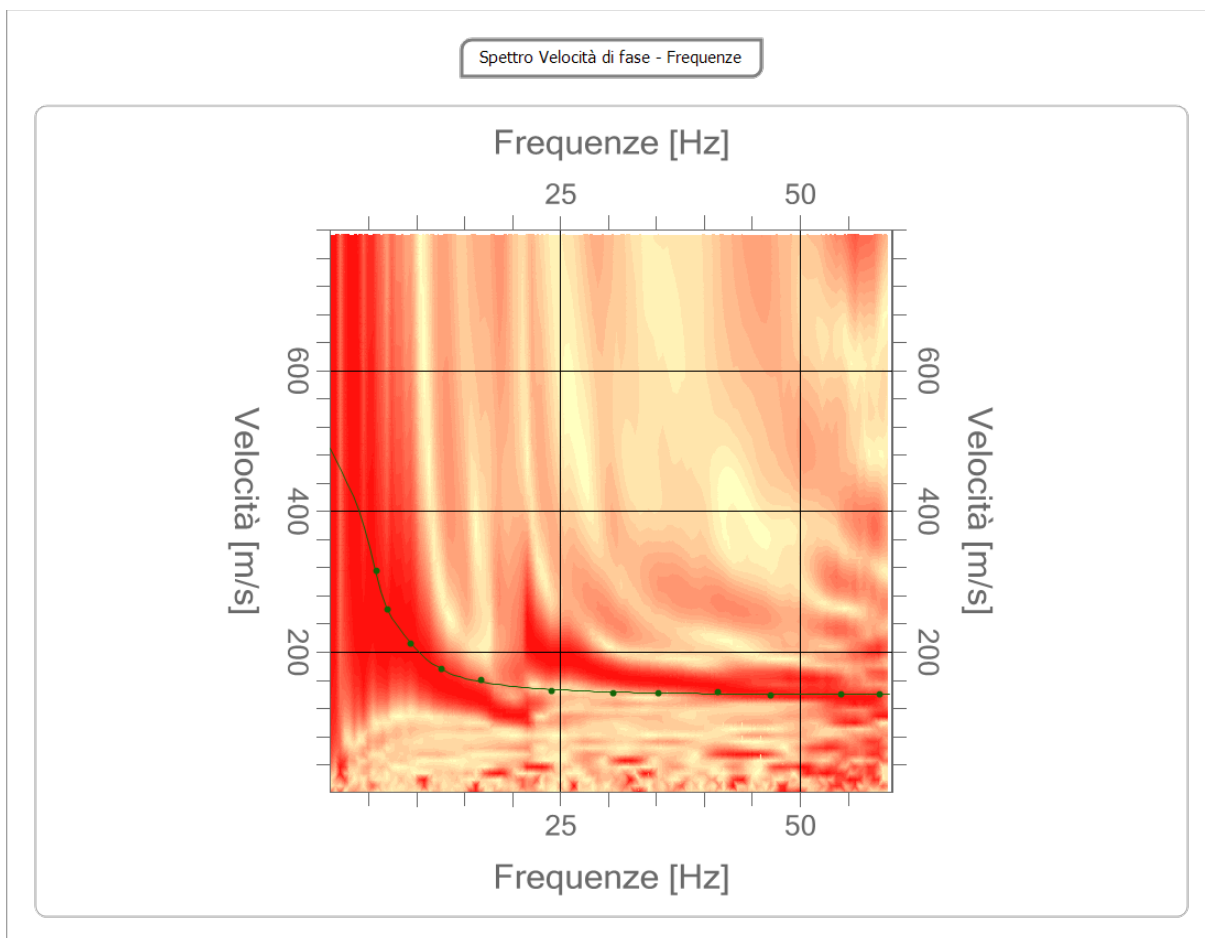
### Analisi spettrale

Frequenza minima di elaborazione [Hz]	1
Frequenza massima di elaborazione [Hz]	60
Velocità minima di elaborazione [m/sec]	1
Velocità massima di elaborazione [m/sec]	800
Intervallo velocità [m/sec]	1



### Curva di dispersione

n.	Frequenza [Hz]	Velocità [m/sec]	Modo
1	5.8	314.7	0
2	7.0	260.8	0
3	9.4	211.8	0
4	12.6	175.8	0
5	16.7	159.5	0
6	24.1	144.8	0
7	30.5	141.5	0
8	35.2	141.5	0
9	41.5	143.2	0
10	47.0	138.3	0
11	54.3	139.9	0
12	58.3	139.9	0

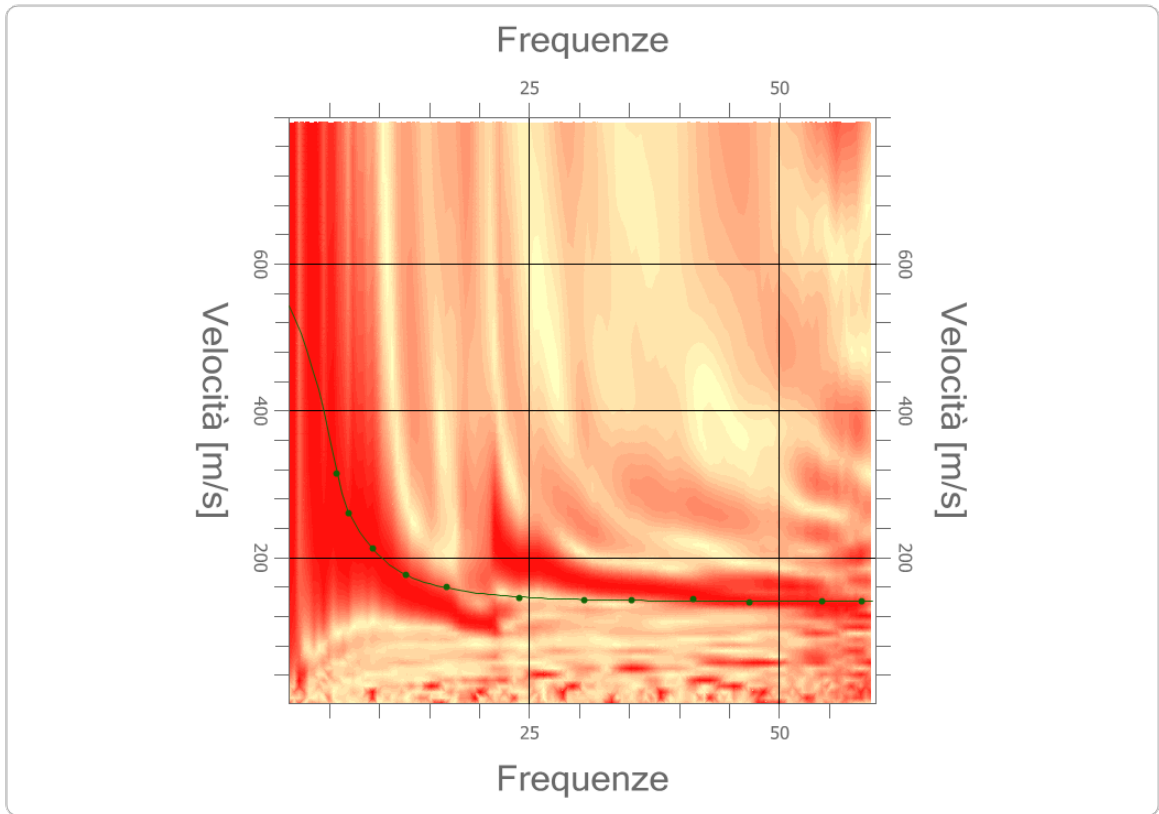


**Inversione**

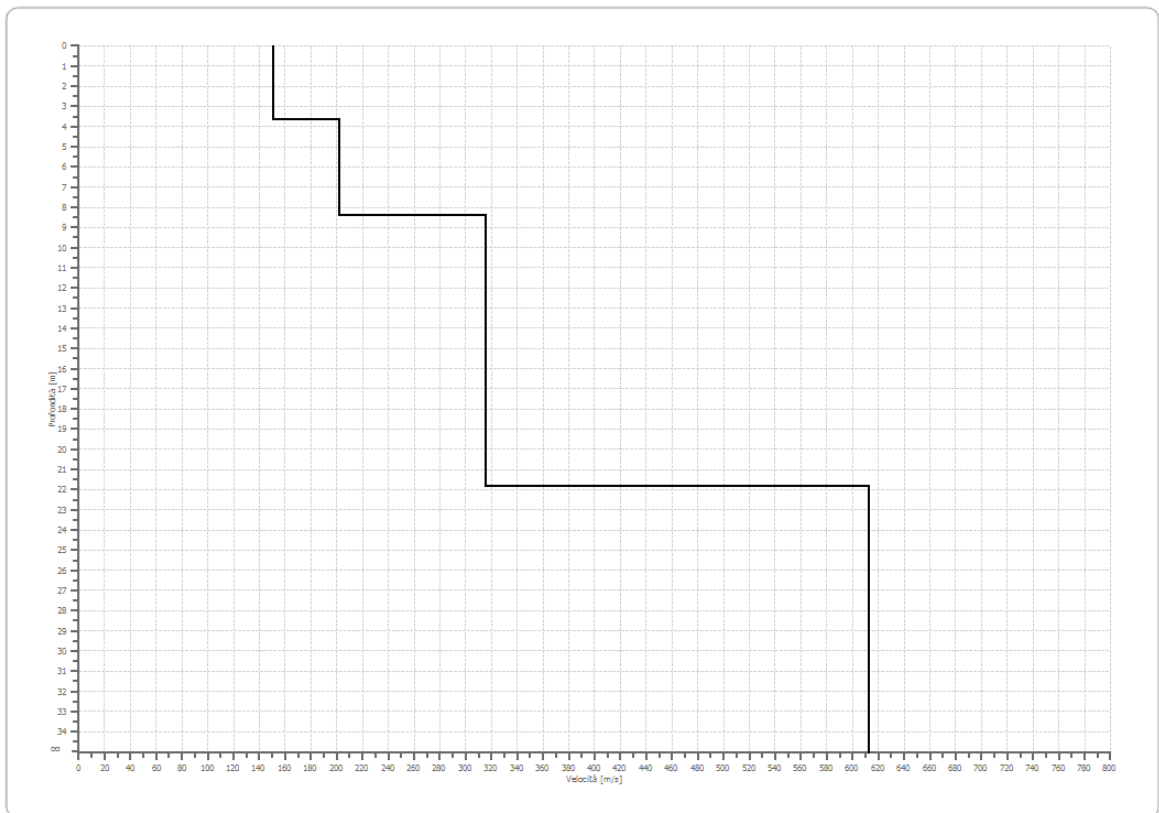
n.	Profondità [m]	Spessore [m]	Vp [m/sec]	Vs [m/sec]
1	3.66	3.66	281.9	150.7
2	8.42	4.76	377.6	201.8
3	21.87	13.45	590.9	315.8
4	35.00	13.13	1145.5	612.3

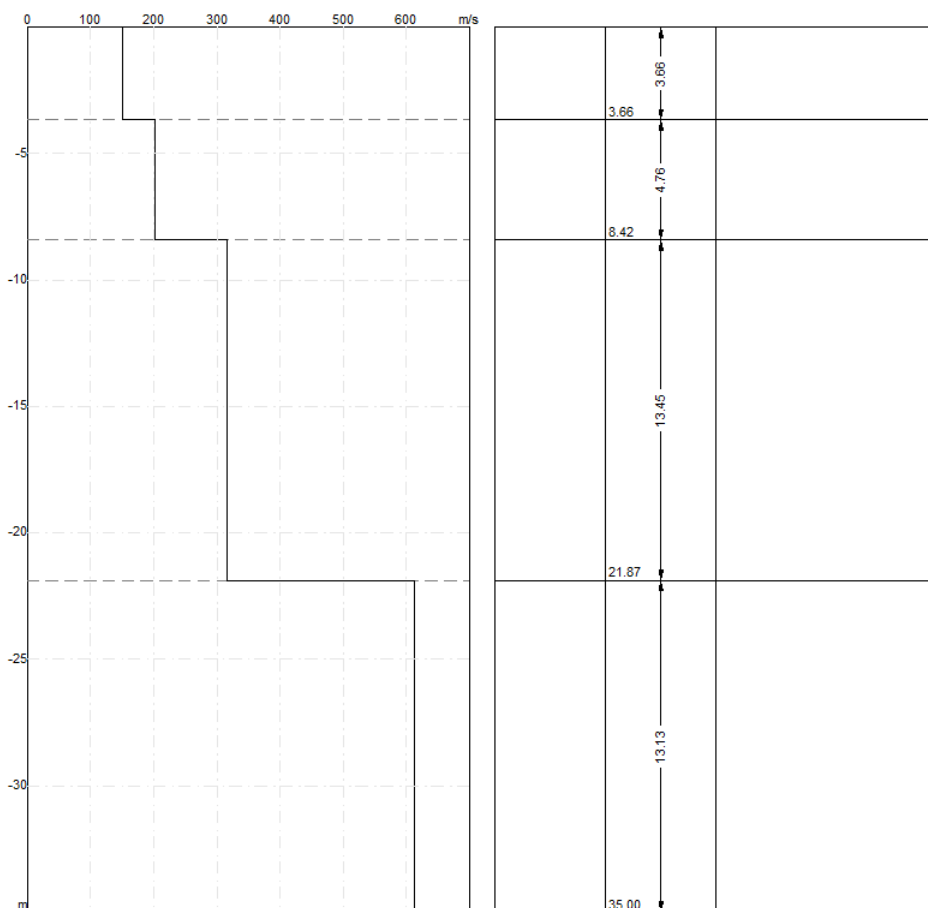
Percentuale di errore 0.004 %  
 Fattore di disadattamento della soluzione 0.008

Inversione



Profilo di velocità





### Risultati e Caratterizzazione del sottosuolo

La classificazione del sottosuolo si effettua in base alle condizioni stratigrafiche ed ai valori della velocità equivalente di propagazione delle onde di taglio,  $V_{S,eq}$  (in m/s), definita dall'espressione:

$$V_{S,eq} = \frac{H}{\sum_{i=1}^N \frac{h_i}{V_{S,i}}}$$

Dove:

- $h_i$  spessore dell'i-esimo strato;
- $V_{S,i}$  velocità delle onde di taglio nell'i-esimo strato;
- N numero di strati;
- H profondità del substrato, definito come quella formazione costituita da roccia o terreno molto rigido, caratterizzata da  $V_S$  non inferiore a 800 m/s.

<b>Profondità piano di posa [m]</b>	0.00
<b><math>V_{S,eq}</math> [m/sec] (H=30.00 m)</b>	289.19
<b>Categoria del suolo</b>	C

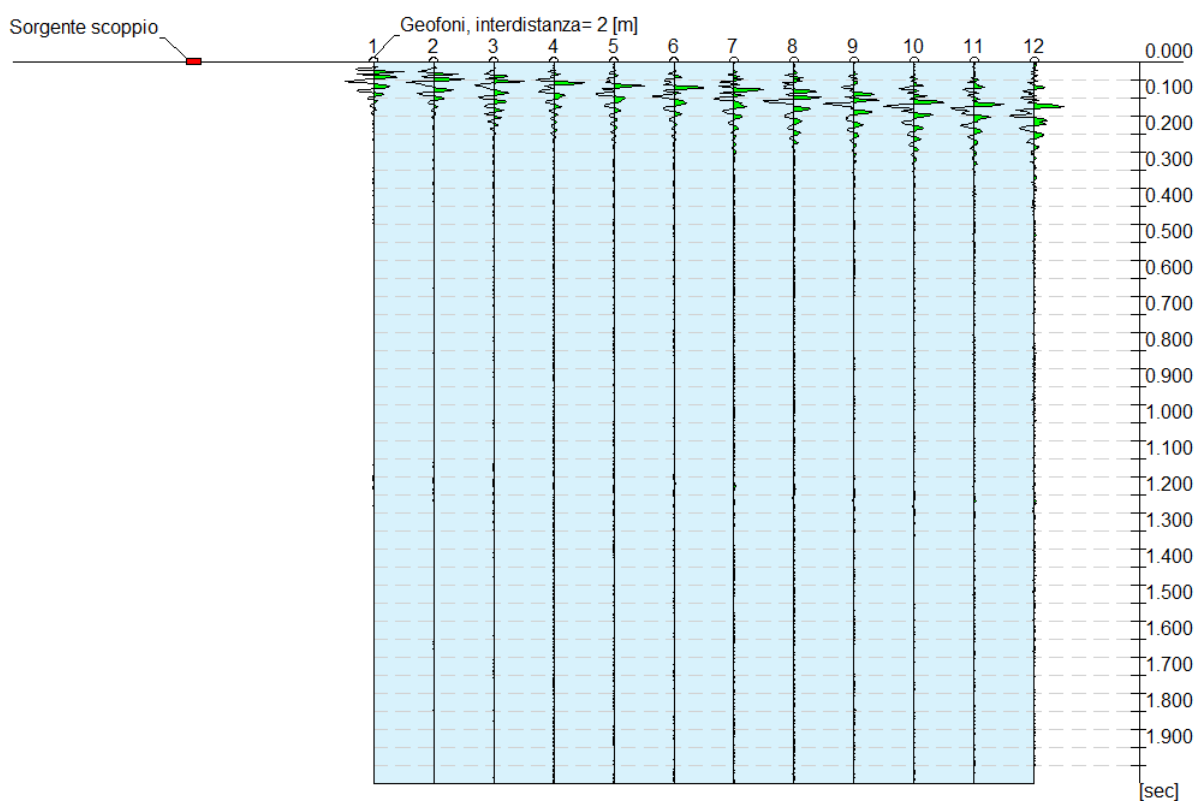
Categorie	Descrizione
A	Ammassi rocciosi affioranti o terreni molto rigidi caratterizzati da valori di velocità delle onde di taglio superiori a 800 m/s, eventualmente comprendenti in superficie terreni di caratteristiche meccaniche più scadenti con spessore massimo pari a 3 m.
B	Rocce tenere e depositi di terreni a grana grossa molto addensati o terreni a grana fina molto consistenti, caratterizzati da un miglioramento delle proprietà meccaniche con la profondità e da valori di velocità equivalente compresi tra 360 m/s e 800 m/s.
<b>C</b>	<b>Depositi di terreni a grana grossa mediamente addensati o terreni a grana fina mediamente consistenti con profondità del substrato superiori a 30 m, caratterizzati da un miglioramento delle proprietà meccaniche con la profondità e da valori di velocità equivalente compresi tra 180 m/s e 360 m/s.</b>
D	Depositi di terreni a grana grossa scarsamente addensati o di terreni a grana fina scarsamente consistenti, con profondità del substrato superiori a 30 m, caratterizzati da un miglioramento delle proprietà meccaniche con la profondità e da valori di velocità equivalente compresi tra 100 e 180 m/s.
E	Terreni con caratteristiche e valori di velocità equivalente riconducibili a quelle definite per le categorie C o D, con profondità del substrato non superiore a 30 m.

## Elaborazione Indagine MASW\_2 (Mse)

### Dati generali

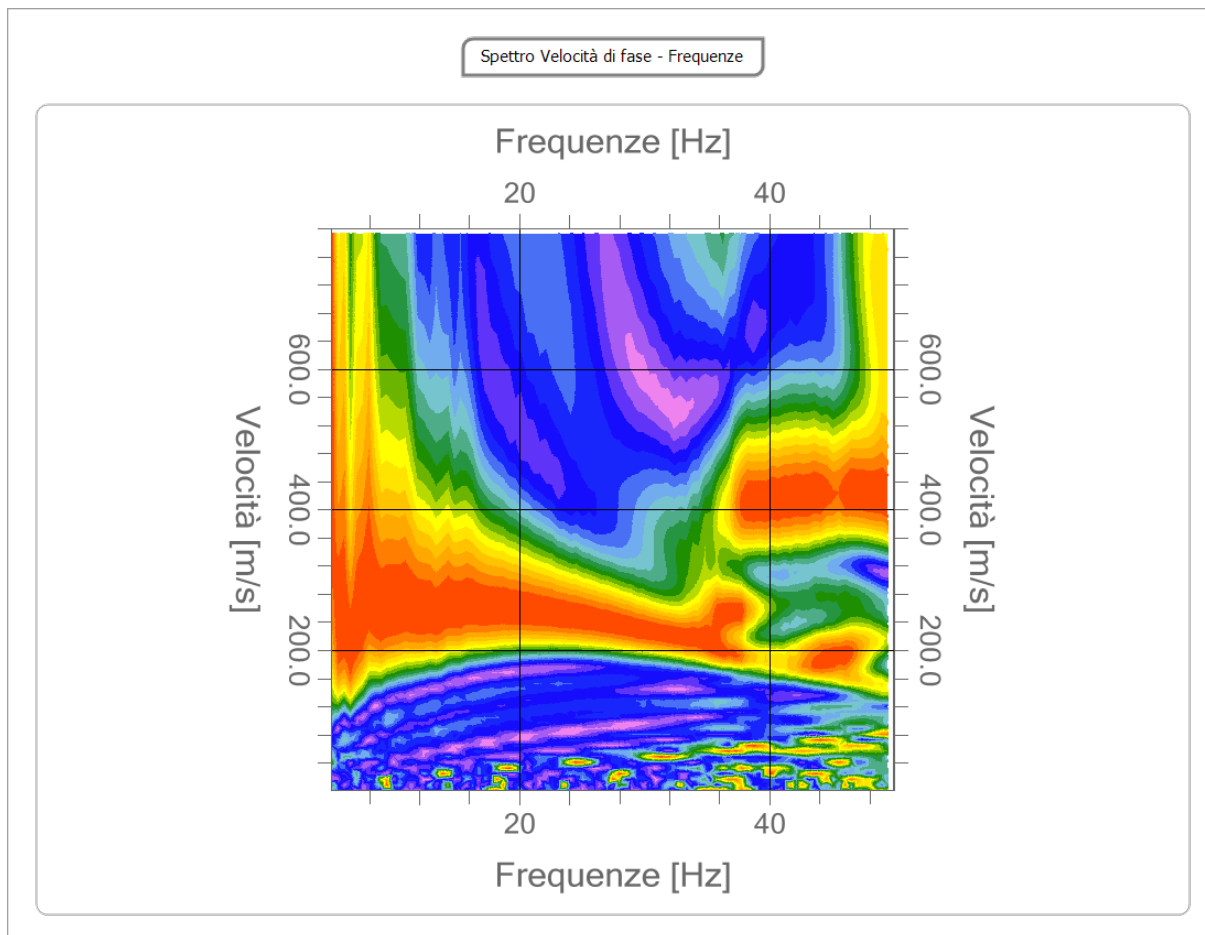
Profilo sismico MASW	
N° canali di registrazione	12
Distanza intergeofonica	2 m
Numero di scoppi	1
Durata	2000 msec
Campionamento	2 msec
Sistema di energizzazione	Massa battente

### Interpretazione



### Analisi spettrale

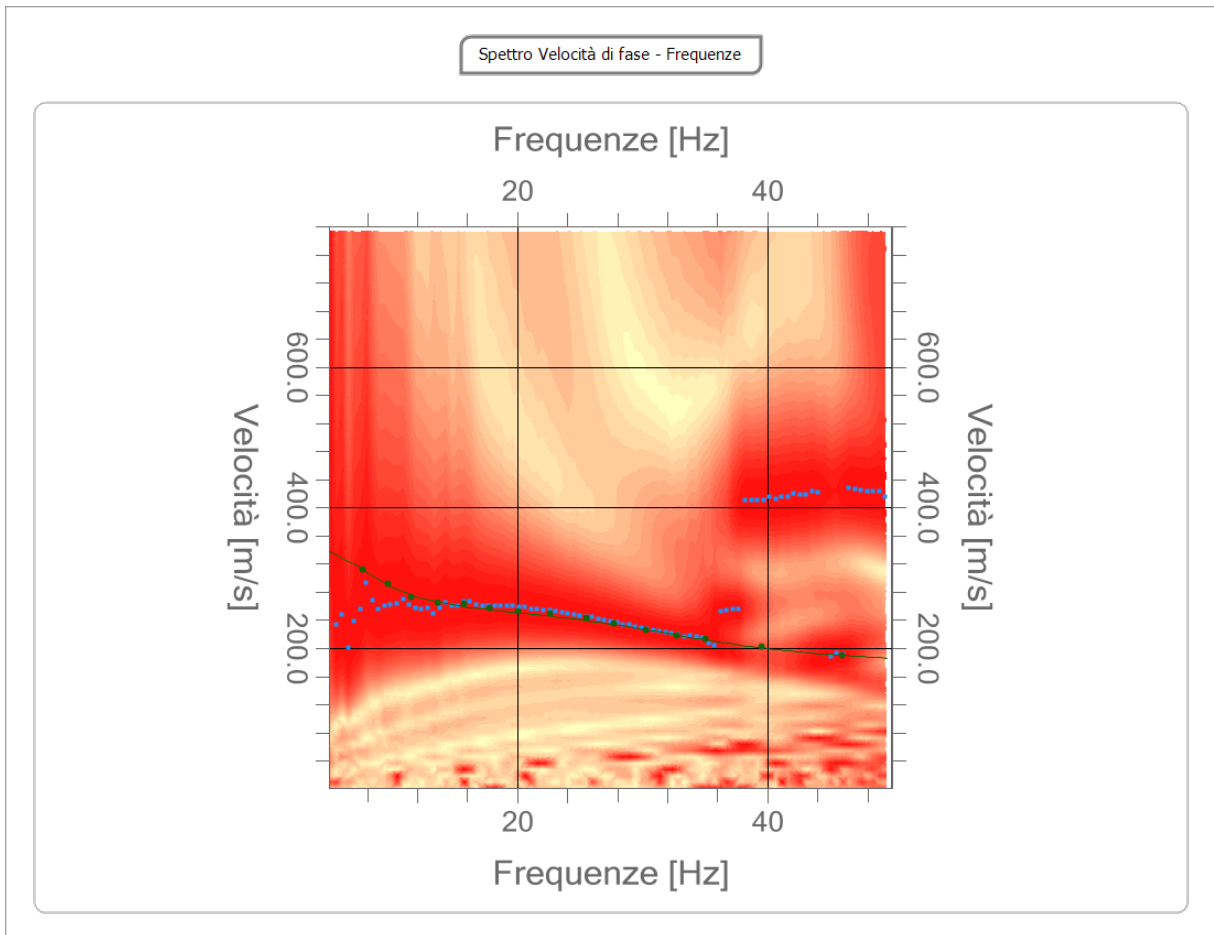
Frequenza minima di elaborazione [Hz]	5
Frequenza massima di elaborazione [Hz]	50
Velocità minima di elaborazione [m/sec]	1
Velocità massima di elaborazione [m/sec]	800
Intervallo velocità [m/sec]	1



### Curva di dispersione

n.	Frequenza [Hz]	Velocità [m/sec]	Modo
1	7.7	311.4	0
2	9.7	291.8	0
3	11.5	272.2	0
4	13.7	265.7	0
5	15.8	264.1	0
6	17.8	257.5	0
7	20.1	252.6	0
8	22.6	249.4	0
9	25.5	242.8	0
10	27.7	234.7	0
11	30.3	226.5	0
12	32.7	218.3	0

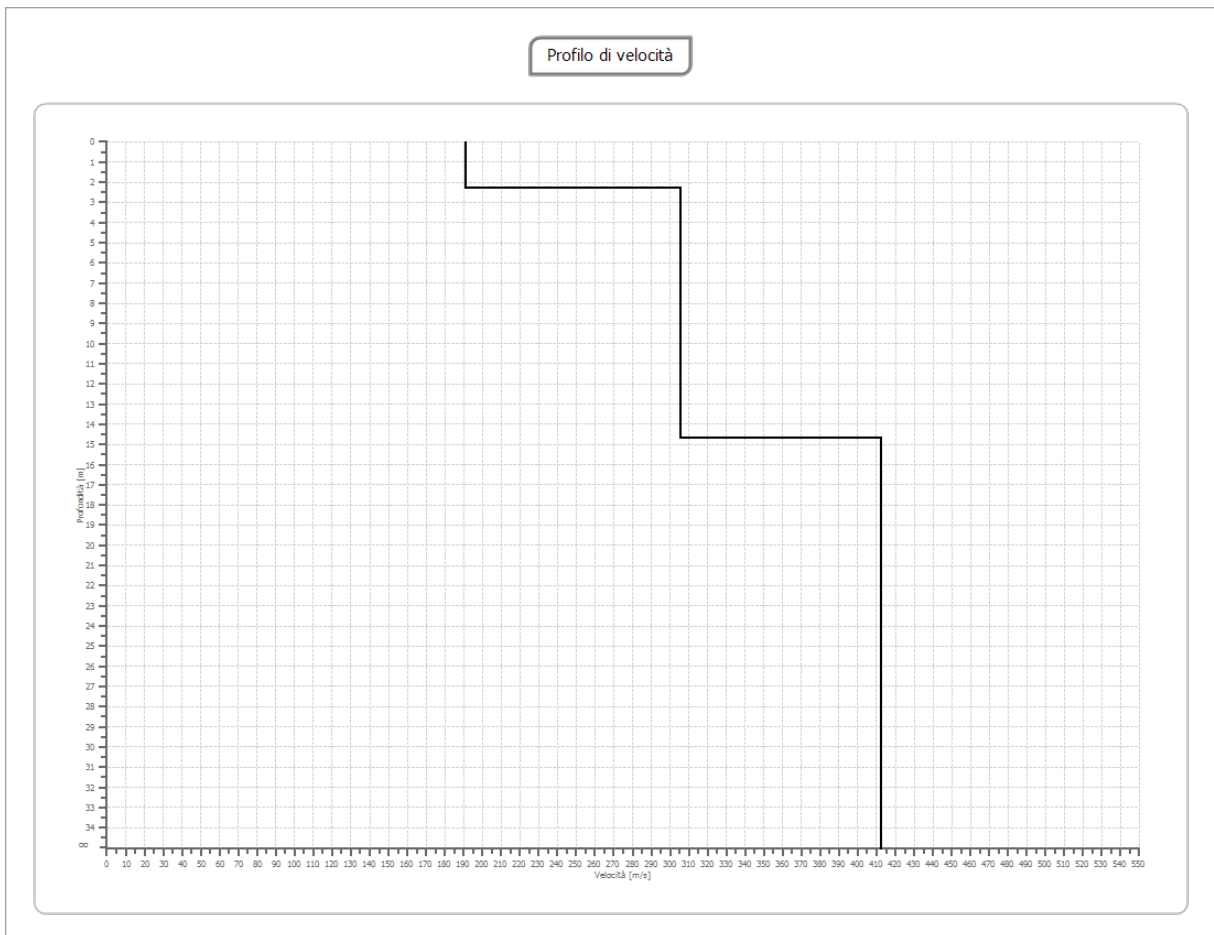
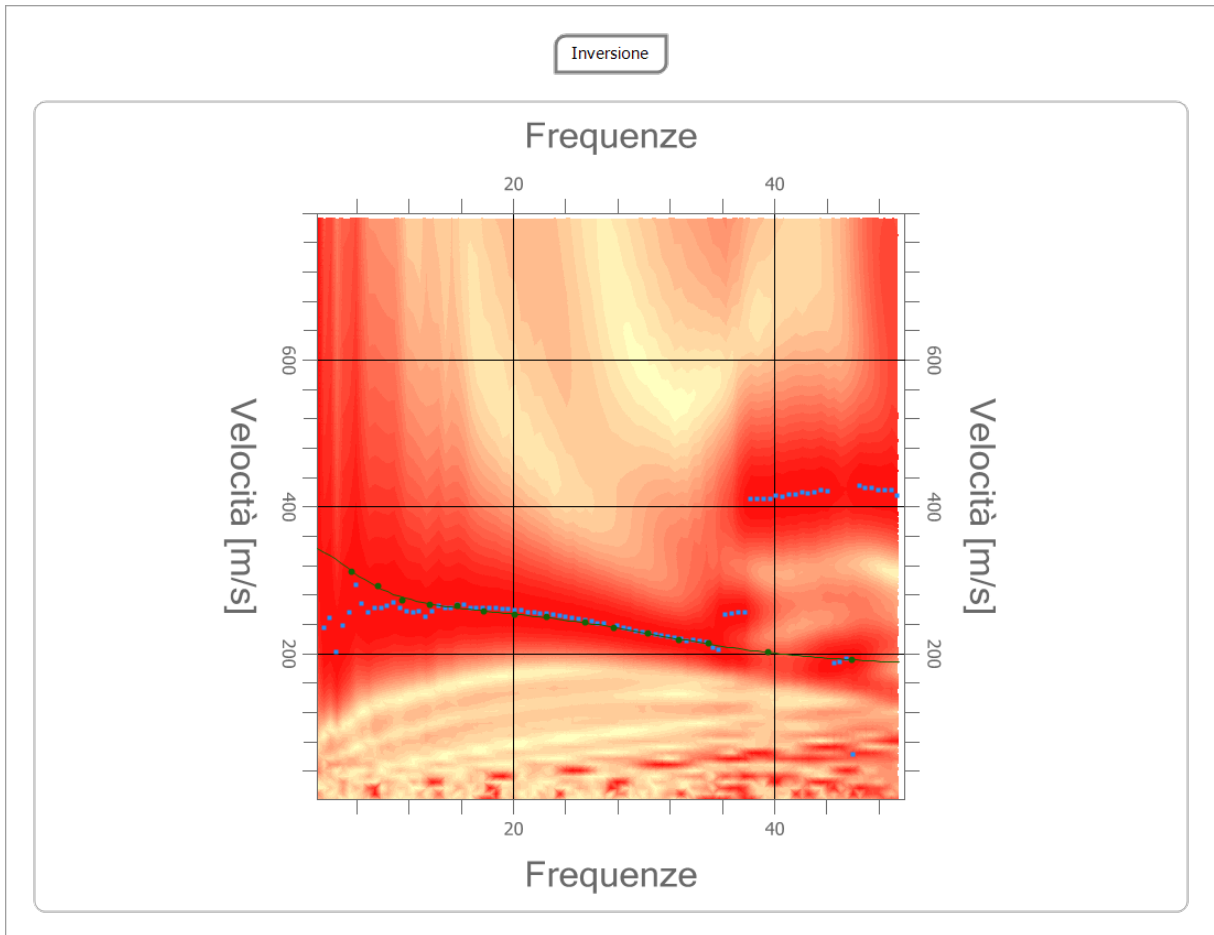
13	35.0	213.4	0
14	39.5	202.0	0
15	46.0	190.5	0

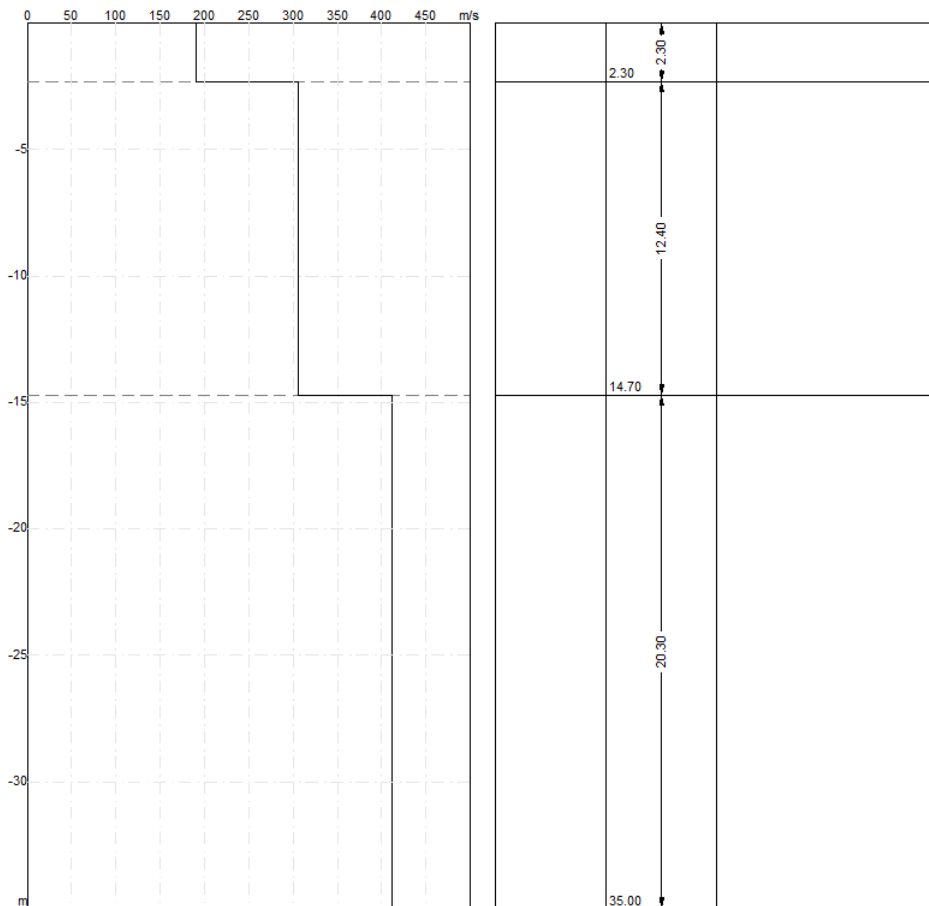


**Inversione**

n.	Profondità [m]	Spessore [m]	Vp [m/sec]	Vs [m/sec]
1	2.30	2.30	357.3	191.0
2	14.70	12.40	571.4	305.4
3	35.00	20.30	771.0	412.1

Percentuale di errore 0.004 %  
 Fattore di disadattamento della soluzione 0.006





### Risultati e Caratterizzazione del sottosuolo

La classificazione del sottosuolo si effettua in base alle condizioni stratigrafiche ed ai valori della velocità equivalente di propagazione delle onde di taglio,  $V_{S,eq}$  (in m/s), definita dall'espressione:

$$V_{S,eq} = \frac{H}{\sum_{i=1}^N \frac{h_i}{V_{S,i}}}$$

Dove:

$h_i$  spessore dell'*i*-esimo strato;

$V_{S,i}$  velocità delle onde di taglio nell'*i*-esimo strato;

$N$  numero di strati;

$H$  profondità del substrato, definito come quella formazione costituita da roccia o terreno molto rigido, caratterizzata da  $V_S$  non inferiore a 800 m/s.

<b>Profondità piano di posa [m]</b>	0.00
<b><math>V_{S,eq}</math> [m/sec] (H=30.00 m)</b>	334.22
<b>Categoria del suolo</b>	C

Categorie	Descrizione
A	Ammassi rocciosi affioranti o terreni molto rigidi caratterizzati da valori di velocità delle onde di taglio superiori a 800 m/s, eventualmente comprendenti in superficie terreni di caratteristiche meccaniche più scadenti con spessore massimo pari a 3 m.
B	Rocce tenere e depositi di terreni a grana grossa molto addensati o terreni a grana fina molto consistenti, caratterizzati da un miglioramento delle proprietà meccaniche con la profondità e da valori di velocità equivalente compresi tra 360 m/s e 800 m/s.
<b>C</b>	<b>Depositi di terreni a grana grossa mediamente addensati o terreni a grana fina mediamente consistenti con profondità del substrato superiori a 30 m, caratterizzati da un miglioramento delle proprietà meccaniche con la profondità e da valori di velocità equivalente compresi tra 180 m/s e 360 m/s.</b>
D	Depositi di terreni a grana grossa scarsamente addensati o di terreni a grana fina scarsamente consistenti, con profondità del substrato superiori a 30 m, caratterizzati da un miglioramento delle proprietà meccaniche con la profondità e da valori di velocità equivalente compresi tra 100 e 180 m/s.
E	Terreni con caratteristiche e valori di velocità equivalente riconducibili a quelle definite per le categorie C o D, con profondità del substrato non superiore a 30 m.

**Repertorio fotografico ed ubicazione delle indagini**



**Foto prova DPM\_1 (P1)**



**Foto prova DPM\_2 (P2)**



**Foto prova DPM\_3 (Pse)**



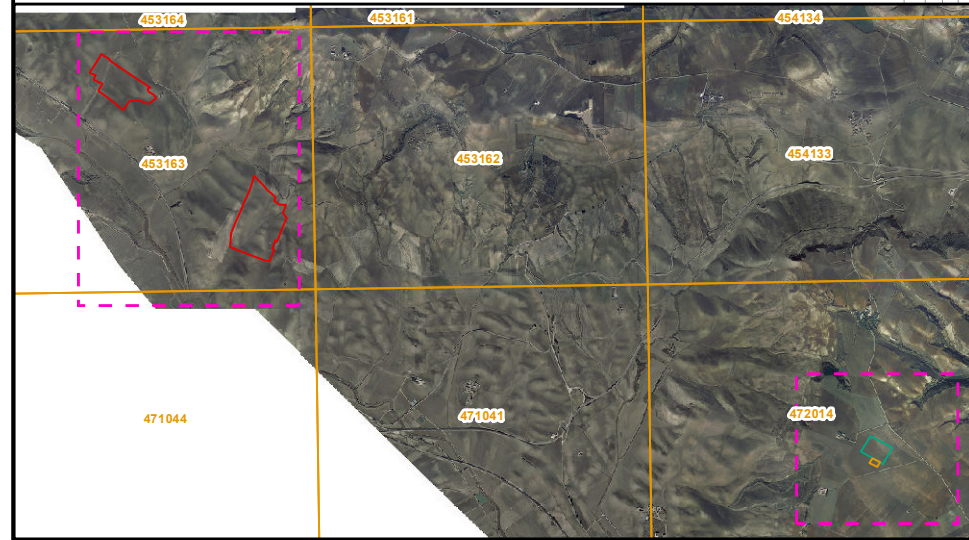
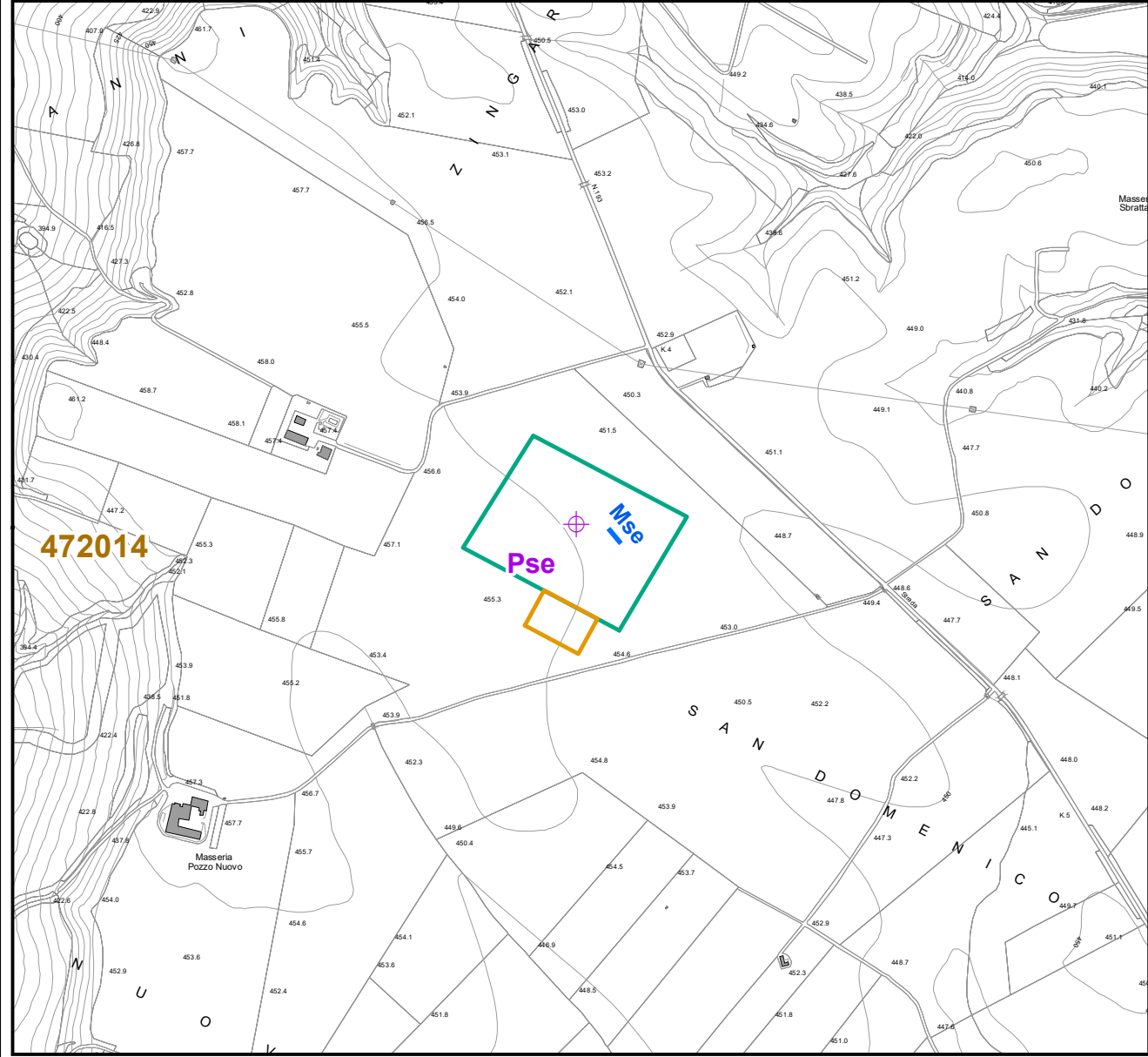
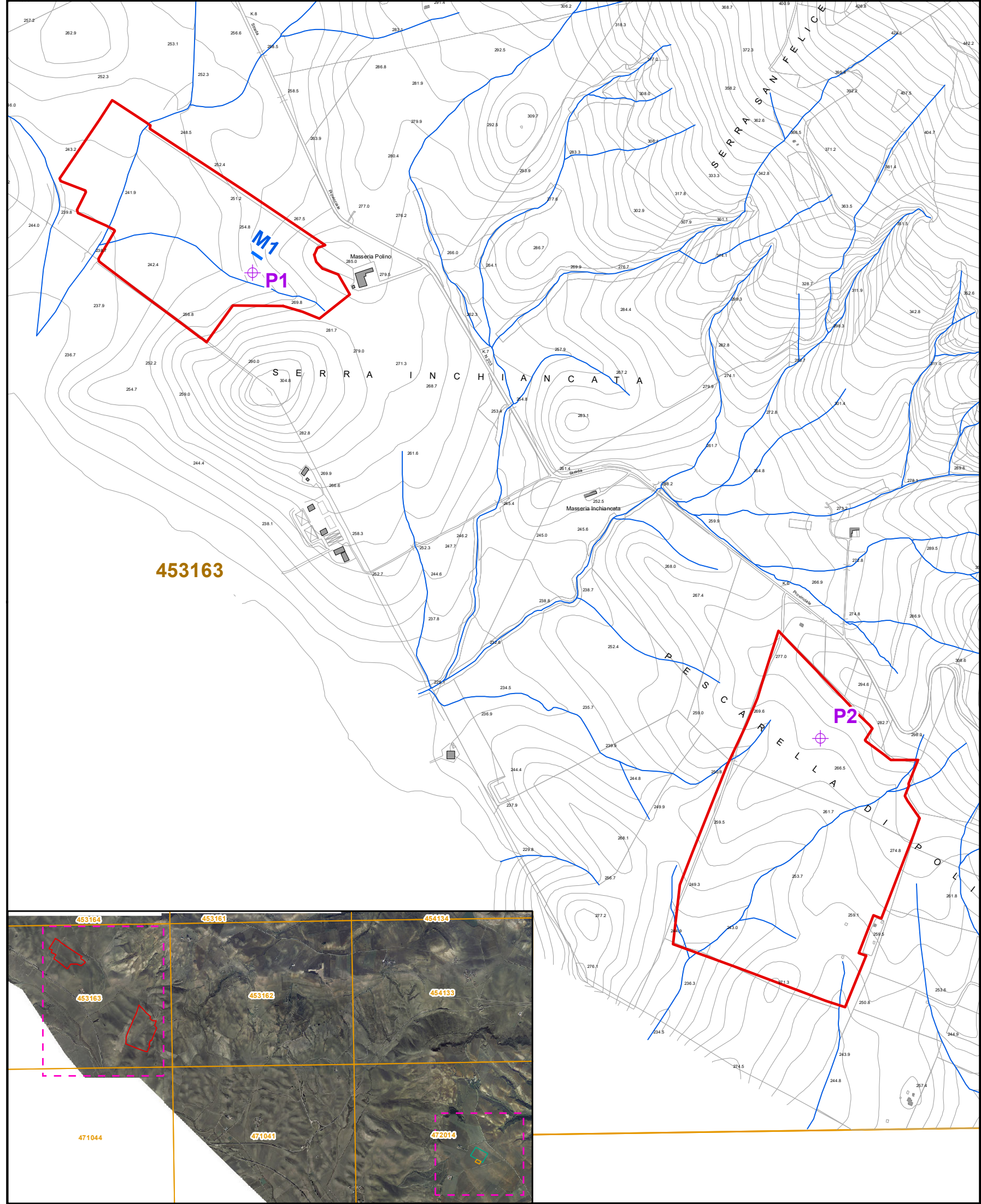
**Foto prova Masw\_1 (M1)**



**Foto prova Masw\_2 (Mse)**

Montalto Uffugo (CS), Novembre 2021

**Il tecnico**  
*Eugenio Montalto*



### CARTA UBICAZIONE INDAGINI

Scala 1:10.000

0 125 250 500 Meters

- Prove penetrometriche (P1-P2-Pse)
- Indagini sismiche di tipo MASW (M1-Mse)
- Delimitazione area impianto
- Sottostazione Elettrica
- Stazione Elettrica
- Base Cartografica
- Quadro Unione CTR